

## مطالعه بستگی بازد ۵۰ میون به چگالی یونی در همجوشی مخلوط T-D-T-H و مقایسه آنها

محمد رضا اسکندری، سیده فخرین حسینی مطلق

بخش فیزیک دانشگاه شیراز، کد پستی ۷۱۴۸۴

تاریخ دریافت نسخه نهایی ۱۳ اردیبهشت ۷۶

تاریخ دریافت ۲۶ بهمن ۷۴

### چکیده

در همجوشی دوتربیوم - تریتیوم با کاتالیزور میونی، تعداد متوسط همجوشی T-D که میون در طول عمرش کاتالیز می‌کند پارامتر بسیار مهمی است که ضریب تکثیر میونی نامیده می‌شود. این پارامتر به مانند شرط لاوسون در همجوشی از طریق فشردگی مغناطیسی و یا شرط  $R$  در همجوشی از طریق فشردگی لختی است. در قسمت اول این مقاله پارامتر فوق برای مخلوط T-D-T در ازای چگالیهای مختلف محاسبه شده است و نشان داده شده است که با ثابت گرفتن ضریب چگالی در تغییر چگالی، مقدار ضریب تکثیر محدود است و انرژی حاصل از همجوشیها سیستم را به حالت بهره‌وری نمی‌رساند. در سالهای اخیر نتایج تجربی نشان داده است که در مخلوط D/T/H در شرایطی که چگالی دوتربیوم و تریتیوم رقیق باشد ضریب تکثیر میون در شاخه  $d$  افزایش قابل ملاحظه‌ای دارد. بنابراین، محاسبات را برای این مخلوط انجام داده‌ایم و نشان داده‌ایم که روش محاسبات برای مخلوط سه گاز با نتایج تجربی همخوانی بسیار خوبی دارد و نشان می‌دهد که فرض‌های اعمال شده در روش محاسبات با واقعیات فیزیکی مسئله به خوبی مطابق است.

### مقدمه

ارزیابی چنین سیستمی از نظر انرژی تولید شده در مقایسه با انرژی مصرف شده یک مسئله مهم و حساس است. به طور کلی ارزیابی انرژی آزاد شده از یک واکنش هسته‌ای (یا در یک سلسله واکنش)، نسبت به بهای انرژی که سبب آن واکنش می‌گردد برای تعیین اهمیت هر سازوکار انرژی‌زای هسته‌ای یک موضوع اساسی است. برای همین منظور تحقیقات مختلفی در این زمینه انجام می‌گیرد. [۱-۳] در قسمت اول این مقاله روش جالبی برای محاسبه بازده میون در سیستم همجوشی دوتربیوم - تریتیوم با کاتالیزور میونی ارائه می‌شود. به همین منظور در فرمولبندی توازن انرژی، شبکه‌ای مناسب از واکنشهای  $d$ - $t$  معرفی شده است و سپس معادلات دینامیک نقطه‌ای حاکم بر سیستم نوشته شده است. با محاسبه انرژی تولید شده توسط سیستم و با اطلاع از انرژی مصرف شده اولیه جهت تولید میون، متوسط تعداد پدیده همجوشی  $t + d$  در طول عمر میون محاسبه شده است. سپس بازده کاتالیزور میونی در یک سیستم پایا مورد بررسی قرار گرفته است. تغییرات این بازده

از بین ذرات زیر هسته‌ای، ذره میون دارای طول عمر کوتاهی است. این ذره باری برابر با بار الکترون دارد ولی جرم آن خیلی بیشتر از جرم الکترون است. بنابراین یک میون می‌تواند به جای الکترون وارد مدار بوهر اتم هیدروژن شود و این هیدروژن میون دار به راحتی می‌تواند به هسته هیدروژن دیگر نزدیک شود. در نتیجه احتمال همجوشی افزایش می‌یابد. به دنبال یک واکنش همجوشی، میون با احتمال زیاد رها می‌شود و درنتیجه با چسبیدن به هسته هیدروژن دیگر، احتمال همجوشی را افزایش می‌دهد. تکرار این چرخه تا قبل از تلاشی میون ادامه می‌یابد. این فرآیند همجوشی، به شیوه کاتالیزور میونی معروف است. عملی بودن این نوع همجوشی برای اولین بار در دانشگاه برکلی و توسط گروه آلوارز (Alvarez) ملاحظه گردید. ارزش انرژی متوسط معادل برای تولید میون  $GeV^3$  است. بنابراین با درنظر گرفتن طول عمر کوتاه میون که حدود  $10^{-6} \times 2/2$  ثانیه است، مسلم است که در چنین وضعیتی

زیر می‌نویسیم:

$$\frac{dN_\mu}{dt} = -\lambda_\mu N_\mu - K_{\mu t} N_\mu N_t - K_{\mu d} N_\mu N_d + \lambda_\mu d t N_\mu d t (1-\omega) + s_\mu \quad (1. \text{ الف})$$

$$\frac{dN_t}{dt} = -K_{\mu t} N_\mu N_t - K_{d t} N_\mu d N_t + \lambda_\mu N_\mu t \quad (1. \text{ ب})$$

$$\frac{dN_d}{dt} = -K_{\mu d} N_\mu N_d - K_{d t} N_\mu d N_t + \lambda_\mu N_\mu d - K_{\mu d t} N_\mu t N_d \quad (1. \text{ ج})$$

$$\frac{dN_{\mu t}}{dt} = -\lambda_\mu N_{\mu t} + K_{\mu t} N_t N_\mu + K_{d t} N_{\mu d} N_t - K_{\mu d t} N_\mu t N_d \quad (1. \text{ د})$$

$$\frac{dN_{\mu d}}{dt} = -\lambda_\mu N_{\mu d} + K_{\mu d} N_\mu N_d - K_{d t} N_{\mu d} N_t \quad (1. \text{ ه})$$

$$\frac{dN_{\mu d t}}{dt} = -\lambda_\mu N_{\mu d t} + K_{\mu d t} N_{\mu t} N_d - \lambda_{\mu d t} N_{\mu d t} \quad (1. \text{ و})$$

$$\frac{dN_n}{dt} = \lambda_{\mu d t} N_{\mu d t} \quad (1. \text{ ز})$$

$$\frac{dN_\alpha}{dt} = \lambda_{\mu d t} N_{\mu d t} (1-\omega) \quad (1. \text{ ح})$$

$$\frac{dN_{\mu \alpha}}{dt} = \lambda_{\mu d t} N_{\mu d t} \omega - \lambda_\mu N_{\mu \alpha} \quad (1. \text{ ط})$$

که در آن  $N_\mu$  چگالی‌های اتمی یا هسته‌ای - ذره‌ای،  $\lambda_\mu$  احتمال واپاشی میون و یا احتمال انجام فرآیند برای مولکول میوندار و همچنین  $K_\mu$  احتمال تشکیل مولکول میوندار است.  $S_\mu(t)$  تزریق میون است.

در معادلات فوق  $\omega$  ضریب چسبندگی میون به ذرات آلفای تولید شده از واکنش همجوشی  $d-t$  است. آثار این ضریب در همجوشی کاتالیزور میونی قبلاً مورد مطالعه قرار گرفته است [۵].

### بازدید میونی برای مخلوط دو گاز D-T

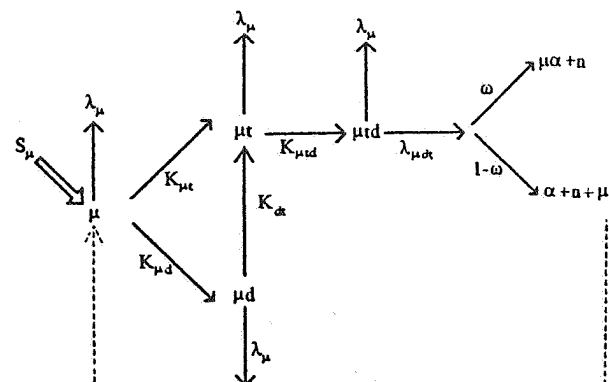
هر گاه در حجم معینی که می‌تواند قلب یک راکتور همجوشی باشد دوتربیوم - تریتیوم و میون تزریق شود مسلماً تا جایی که تزریق‌ها ادامه پیدا کند همجوشی نیز بطور پیوسته ادامه خواهد داشت. اگر زمان کار راکتور همجوشی با کاتالیزور میونی را  $t$  بگیریم، انرژی کل اعمال شده برای انجام همجوشی برابر خواهد بود با

برای چگالی‌های بیونی مختلف مورد مطالعه قرار گرفته و بستگی بازده میونی به چگالی بیونی به دست آمده است. عدم دسترسی به توازن انرژی و نقطه بحرانی حتی در محدوده چگالی‌های زیاد ما را به تعیین محاسبات برای مخلوط سه گاز پروتون - دوتربیوم - تریتیوم هدایت کرد.

در سالهای اخیر گروهی از پژوهشگران تجربی، در مقالات اذاع می‌دارند که استفاده از مخلوط سه گاز D-T-H توائسه است بهره بازدهی میون را بالا برد و از نظر تئوری، مسئله را به انتقال سریع میونی از  $\mu d$  و  $\mu p$  به تریتیوم ارتباط می‌دهند. بنابراین، در قسمت دوم مقاله، تئوری و روش محاسبات مربوط به مخلوط سه گاز ارائه شده است و بازده میونی محاسبه شده است. برای بررسی فرض‌های اعمال شده در محاسبات، جوابهای حاصل با جوابهای تجربی قابل دسترس مقایسه شده است. این مقایسه نشان می‌دهد که جوابهای حاصل از محاسبات با جوابهای تجربی همخوانی خوبی دارد و نشانی از معتبر بودن فرض‌های اعمال شده است.

### توازن انرژی و محاسبات مربوط به مخلوط دو گاز

در سیستم همجوشی دوتربیوم - تریتیوم با کاتالیزور میونی فرض می‌کنیم که باریکهٔ میونی از یک شتابدهنده به واحد حجم دوتربیوم - تریتیوم تزریق می‌شود. بنابراین میونهای تزریقی عهده‌دار آغاز و نگهداری شبکهٔ واکنش پیچیده  $d-t$  خواهند بود، ولی تجربه نشان داده است که استفاده از شبکهٔ واکنش ارائه شده در شکل ۱ دارای دقت قابل قبولی است و احتساب سایر واکنش‌ها تغییر جداسدن میون چسبیده به ذرات دیگر چندان تأثیری در نتیجهٔ محاسبات نمی‌کند [۶]. معادلات سینتیک نقطه‌ای مستقل از مکان را برای شکل ۱ و برای چگالی‌های مختلف اتمی هسته‌ای - ذره‌ای به صورت



شکل ۱. شبکهٔ واکنش جامع برای میون در محیط مایع  $d + t$ .  $S_\mu$  میزان تزریق میون است.

که در آن از تقریب  $\tau \ll \mu$  استفاده شده است که برای یک سیستم تولید انرژی، تقریب کاملاً درستی است. ثابت بودن چگالی مولکول دوتربیوم - تربیتیوم میوندار این را می‌رساند که چگالی تمام ذرات میانهای نیز نسبت به زمان ثابت می‌ماند؛ در نتیجه

$$\frac{dN_\mu}{dt} = \frac{dN_{\mu t}}{dt} = \frac{dN_{\mu d}}{dt} = \frac{dN_{\mu dt}}{dt} = 0. \quad (7)$$

از آنجا که تزریق دوتربیوم - تربیتیوم نیز به همراه تزریق میون انجام می‌شود، این تزریق نیز بایستی به نحوی صورت گیرد که مقدار  $t$  و  $N_d$ ، یعنی چگالیهای دوتربیوم - تربیتیوم، نیز در سیستم ثابت بمانند یعنی سیستم راکتور مورد نظر می‌باشد در حالت پایا قرار گیرد. بنابراین، برای تعیین  $N_{\mu dt}^*$  می‌باشد  $N_{\mu t}$  و  $N_{\mu d}$  و  $N_{\mu dt}$  معلوم باشند.

طرف راست معادله (۱.و) را صفر قرار داده و با ساده - کردن آن چگالی مولکولی دوتربیوم - تربیتیوم میوندار بدست می‌آید:

$$N_{\mu dt}^* = \frac{K_{\mu d} N_{\mu t} N_d}{\lambda_\mu + K_{\mu dt}}. \quad (8)$$

بطور مشابه از معادله (۱.ه) چگالی دوتربیوم میوندار،  $N_{\mu d}$  محاسبه می‌شود،

$$N_{\mu d}^* = \frac{K_{\mu d} N_\mu N_d}{\lambda_\mu + K_{\mu dt} N_t}. \quad (9)$$

همچنین از معادله (۱.د) داریم،

$$N_{\mu t}^* = \frac{K_{\mu t} N_t N_\mu + K_{dt} N_{\mu d} N_t}{\lambda_\mu + K_{\mu dt} N_d}. \quad (10)$$

که اگر  $N_{\mu d}$  را جایگزین کنیم بعد از ساده کردن داریم،

$$N_{\mu t}^* = \frac{K_{\mu t} N_t N_\mu (\lambda_\mu + K_{dt} N_t) + K_{dt} N_t K_{\mu d} N_\mu N_d}{(\lambda_\mu + K_{\mu dt} N_d) (\lambda_\mu + K_{dt} N_t)}. \quad (11)$$

اگر دوباره  $N_{\mu t}$  محاسبه شده را در  $N_{\mu dt}^*$  قرار دهیم داریم،

$$N_{\mu t}^* = \left[ \frac{K_{\mu dt} N_d}{\lambda_\mu + K_{\mu dt}} \right]$$

$$= \frac{\left[ K_{\mu t} N_t N_\mu (\lambda_\mu + K_{dt} N_t) + K_{dt} N_t K_{\mu d} N_\mu N_d \right]}{(\lambda_\mu + K_{\mu dt}) (\lambda_\mu + K_{\mu dt} N_d) (\lambda_\mu + K_{dt} N_t)} \quad (12)$$

$$E_{in} = \int_0^\tau s_\mu(t) E_\mu dt = E_\mu \int_0^\tau s_\mu(t) dt \quad (2)$$

که  $E_\mu$  ارزش انرژی متوسط تولید یک میون است. هچنین انرژی هسته‌ای کل رها شده در پی آمد یک تزریق منظم را نیز می‌توان به صورت زیر نوشت:

$$E_{out} = Q_{dt} \int_0^{\tau + t_\mu} \lambda_{\mu dt} N_{\mu dt}(t) dt \quad (3)$$

که در آن  $Q_{dt}$  انرژی رها شده از همجهوشی دوتربیوم - تربیتیوم (۱۷/۶ MeV) و  $t_\mu$  طول عمر متوسط میون است. کسر تکثیر انرژی را می‌توان به صورت زیر نوشت:

$$M_E = \frac{E_{out}}{E_{in}} \quad (4)$$

که در آنها  $E_\mu$ ،  $Q_{dt}$  ثابت هستند. در نتیجه می‌توان متوسط تعداد پدیدهای همجهوشی  $d + t$  کاتالیز شده توسط یک میون،  $\chi_\mu$  را تعریف کرد:

$$\chi_\mu = \frac{\int_0^{\tau + t_\mu} \lambda_{\mu dt} N_{\mu dt}(t) dt}{\int_0^\tau S_\mu(t) dt} \quad (5)$$

در واقع  $\chi_\mu$  تعداد متوسط همجهوشی دوتربیوم - تربیتیوم است که میونی در طول عمرش می‌تواند کاتالیز کند، یا به عبارت دیگر ضریب تکثیر میون است و یا تعداد میون تکثیر شده برای انجام همجهوشی به ازای یک میون مصروفی است. ملاحظه می‌شود که بستگی زمانی این پارامتر را با داشتن میزان تزریق میون بر حسب زمان و غلظت مولکولهای  $\mu dt$  بر حسب زمان می‌توان تعیین کرد. مسلماً  $S_\mu(t)$  توسط کار شتابدهنده تعیین می‌گردد ولی تابع زمانی غلظت مولکولی فقط از حل معادلات سیستمیک نقطه‌ای ذرات، معادلات (۱)، قابل تعیین هستند. معادلات فوق معادلات غیرخطی جفت شده هستند که قبل از اهداف دیگر، به روش عددی رونگا - کوتای مرتبه چهار حل شده‌اند [۶]. ولی با توجه به شرایط فیزیکی لازم، در طول زمان کار باشیستی میزان تزریق در سیستم مورد نظر ثابت باشد یعنی  $(t) = S_\mu^*(t)$  و در نتیجه چگالی یونی مولکولی  $\mu dt$  نیز مقدار ثابت  $N_{\mu dt}^*$ ، مشخصه حالت پایا، خواهد بود و درنتیجه بازده چرخه میون در عمل به صورت زیر می‌آید

$$\chi_\mu \approx \frac{\lambda_{\mu dt} N_{\mu dt}^* [t + dt]}{S_\mu(t) \tau} \approx \lambda_{\mu dt} \left( \frac{N_{\mu dt}^*}{S_\mu^*} \right) \quad (6)$$

جدول ۱. پارامترهای مربوط به فرآیند  $t + d$  در دمای  $K = 300$  در محیط هیدروژن مایع

PROCESS	PARAMETER	VALUE
MUON DECAY	$\lambda_\mu$	$0.405E6 \text{ s}^{-1}$
MUON D-T FUSION RATE	$\lambda_{\mu dt}$	$0.11E13 \text{ s}^{-1}$
MUON-D ATOM FORMATION	$K_{\mu d}$	$0.12E-11 \text{ CM}^{-3}, \text{ s}^{-1}$
MUON-T ATOM FORMATION	$K_{\mu t}$	$0.12E-11 \text{ CM}^{-3}, \text{ s}^{-1}$
MUON D-T MOLECULE FORMATION	$\lambda_{\mu dt}$	$0.25E-14 \text{ CM}^{-3}, \text{ s}^{-1}$
ISOTOPE EXCHANGE DT	$K_{dt}$	$0.5E-14 \text{ CM}^{-3}, \text{ s}^{-1}$
MUON D-T STICKING PROBABILITY	$\omega$	$0.007$

ملاحظه می شود که با افزایش چگالی های دوتربیوم و تریتیوم و ثابت نگه داشتن احتمال چسبندگی میون،  $\omega = 0.007$ ، مقدار  $\chi_\mu$  افزایش یافته و حداکثر به ۱۴۲ می رسد و از آن پس با افزایش چگالی یونی دوتربیوم - تریتیوم، احتمال چسبندگی  $\omega$  کاهش می یابد که مسلمان ضریب تکثیر میونی را افزایش می دهد [۷]. ولی هنوز این افزایش قابل ملاحظه نیست و می توان اذعان کرد که هنوز سیستم به نقطه بجهه وری نمی رسد، چراکه حدود ۱۴۲ همچو شیوه ازای یک میون، حتی قادر به تأمین انرژی مصرف شده برای تولید یک میون هم نخواهد بود. برای افزایش این ضریب، تحقیقات مختلفی انجام گرفته است [۸-۱۰]. در همین راستا قسمت دوم این

و در نتیجه قرار دادن آن در رابطه ضریب تکثیر میونی داریم،

$$\chi_\mu^* = \left[ \frac{\lambda_{\mu dt}}{S_\mu} \right] \frac{(K_{\mu dt} N_d) [K_{\mu t} N_t (\lambda_\mu + K_{dt} N_t) + K_{dt} N_t K_{\mu d} N_\mu N_d]}{(\lambda_\mu + \lambda_{\mu dt}) (\lambda_\mu + K_{\mu dt} N_d) (\lambda_\mu + K_{dt} N_t)} \quad (13)$$

و یا

$$\chi_\mu = \lambda_{\mu dt} \frac{N_\mu}{S_\mu} \alpha \quad (14)$$

که در آن

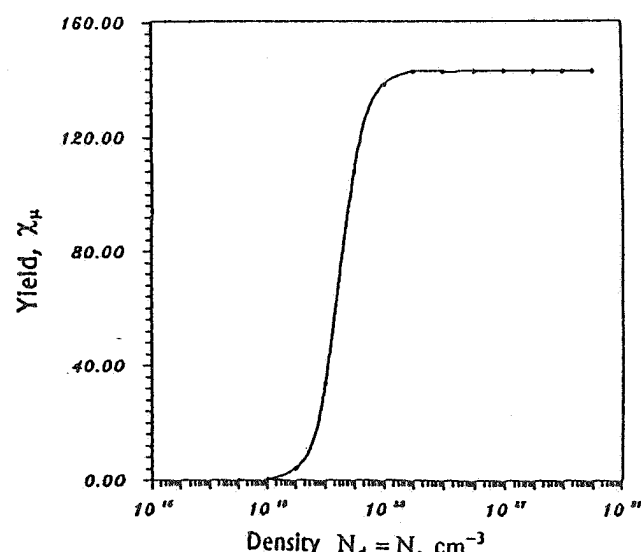
$$\alpha = \frac{(K_{\mu dt} N_d) [K_{\mu t} N_t (\lambda_\mu + K_{dt} N_t) + K_{dt} N_t K_{\mu d} N_d]}{(\lambda_\mu + \lambda_{\mu dt}) (\lambda_\mu + K_{\mu dt} N_d) (\lambda_\mu + K_{dt} N_t)} \quad (15)$$

و بالاخره برای محاسبه  $N_\mu^*/S_\mu^*$ ، طرف راست معادله (۱. الف) را مساوی صفر قرار داده و به دست می آوریم،

$$\frac{N_\mu^*}{S_\mu^*} = [\lambda_\mu + K_{\mu t} N_t + K_{\mu d} N_d - \lambda_{\mu dt} (1 - \omega) \alpha]^{-1}, \quad (16)$$

که اگر در رابطه  $\chi_\mu$  قرار دهیم داریم،

$$\chi_\mu = \lambda_{\mu dt} \alpha [\lambda_\mu + K_{\mu t} N_t + K_{\mu d} N_d - \lambda_{\mu dt} (1 - \omega) \alpha]^{-1}, \quad (17)$$



شکل ۲. نمودار ضریب تکثیر میونی بر حسب دانسیته های مختلف دوتربیوم - تریتیوم در مخلوط دو گاز T/D با فرض ثابت بودن احتمال چسبندگی میون.

با توجه به محاسبات انجام گرفته و استفاده از جدول ۱، مقدار  $\chi_\mu$  برای چگالی های مختلف دوتربیوم و تریتیوم در شکل ۲ آمده است.

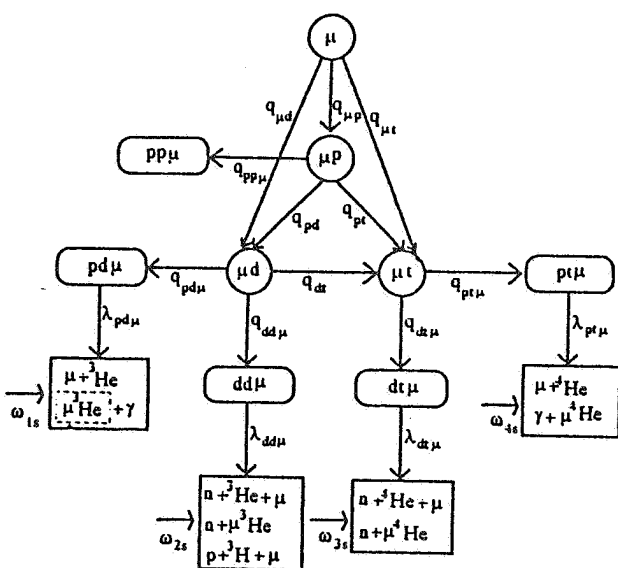
در این مرحله مولکول  $dd\mu$  با ثابت واپاشی  $\lambda_{dd\mu}$  می‌تواند به سه شاخه مختلف همجوشی متوقف می‌شود.  $p + {}^3He + \mu + n + \mu$  و  $n + \mu + {}^3He + \mu$  به ذره  ${}^3He$  تقسیم شود، که در این قسمت نیز میون با احتمال  $\omega_{dd\mu}$  به ذره  ${}^3He$  می‌چسبد و فرآیند همجوشی متوقف می‌شود. حالت دیگر این است که اتم  $\mu d$  دوتیریوم خود را با تریتیوم با احتمال  $q_{d\mu}$  تعویض کند و درنتیجه اتم  $\mu t$  را تولید کند. این اتم  $\mu t$  نیز قبل از واپاشی می‌تواند در دو مسیر مختلف حرکت نماید یا اینکه با جذب دوتیریوم، مولکول  $dt\mu$  را با احتمال  $q_{dt\mu}$  تولید نماید سپس مولکول  $dt\mu$  تولید شده با ثابت واپاشی  $\lambda_{dt\mu}$  می‌تواند به دو شاخه  $\mu + {}^3He + n + \mu$  و  $n + \mu + {}^3He + \mu$  تقسیم شود، که در آن  $\omega_{dt\mu}$  احتمال چسبیدن میون به ذره  ${}^3He$  می‌باشد. باز هم اگر ذره میون به احتمال  $\lambda_{dt\mu}$  بچسبد، فرآیند همجوشی این شاخه متوقف می‌شود، اما اگر  ${}^3He$  بچسبد، فرآیند همجوشی این شاخه تولیدی می‌تواند دوباره شاخه  $\mu + {}^3He + n + \mu$  تشکیل شود، میون تولیدی می‌تواند دوباره به شبکه بازگردانده شود و واکنش همجوشی دیگری را کاتالیز نماید و در پی آن مولکول تولید شده با ثابت واپاشی  $\lambda_{pp\mu}$  به دو شاخه  ${}^3He + \mu + \gamma$  و  $\mu + {}^3He + \mu$  تبدیل شود، که در آن  $\omega_{pp\mu}$  احتمال چسبیدن میون به  ${}^3He$  را نشان می‌دهد. باز اگر ذره میون به  ${}^3He$  بچسبد فرآیند همجوشی این شاخه در همین جا متوقف می‌شود. اما اگر شاخه  $\mu + {}^3He + \mu + \mu$  تشکیل شود میون تولیدی به شبکه بازگردانده می‌شود و همجوشی بیشتری را کاتالیز می‌کند. البته می‌بایست یادآور شد که شبکه کامل همجوشی کاتالیزور میونی در مخلوط سه گاز، پیچیده‌تر از شبکه‌ای است که مورد بررسی قرار گرفته است، ولی از آنجاکه تعدادی از واکنش‌ها در فرآیند همجوشی به طریق کاتالیزور میونی چندان نقش مهمی را بازی نمی‌کنند، لذا

مقاله را به مطالعه مخلوط سه گاز اختصاص می‌دهیم.

### توازن انرژی و محاسبات مربوط به مخلوط سه گاز D-T-H

پژوهشگران تجربی در چند سال اخیر در مخلوط سه گاز بازدهی بهتری را مشاهده کرده‌اند [۲۲-۲۱]. در این قسمت از کار تحقیقاتی سعی می‌شود محاسبات انجام شده برای دو گاز را برای سه گاز تعیین دهیم و درنهایت جوابهای حاصل از تئوری را با جوابهای تجربی مقایسه کنیم. مسلماً این به ما کمک می‌کند تا فرضهای اعمال شده خود را در روش تئوری مورد بحث و بررسی قرار دهیم. برای انجام محاسبات مربوط به مخلوط سه گاز را برای نوشتمن است که شبکه واکنش‌های مربوطه ارائه نمائیم.

شبکه واکنش‌های امکان‌پذیر برای مخلوط سه گاز در شکل ۳ ارائه شده است. ملاحظه می‌شود که میونی از منبع خارجی (شتابدهنده) به درون سیستم حاوی مخلوط سه گاز D-T-H تزریق می‌شود که مسلماً با توجه به مصرف گازها، برای داشتن سیستم پایا، می‌بایست گازها نیز بطور مداوم تزریق شوند. میون تزریقی دو مسیر مختلف را می‌تواند طی کند. یکی اینکه قبل از انجام همجوشی واپاشی نماید و یا اینکه به یکی از یونهای  $d$  و  $t$  و  $p$  چسبیده و اتمهای  $\mu d$ ،  $\mu t$  و  $\mu p$  را با احتمالات  $q_{\mu d}$ ،  $q_{\mu t}$  و  $q_{\mu p}$  به دهده. البته میون هر کدام از این اتمها می‌تواند واپاشی نماید بوجود آورد. البته میون هر کدام از این اتمها می‌تواند واپاشی نماید و چرخه میونی را از بین ببرد. در غیراینصورت سیستم وارد مرحله بعدی می‌شود در این مرحله اتم  $\mu p$ ، سه مسیر مختلف را می‌تواند طی کند، در مسیر اول پروتون خود را با تریتیوم و در مسیر دوم پروتون خود را با دوتیریوم با احتمالهای  $q_{pt}$  و  $q_{pd}$  تعویض نموده و اتمهای  $\mu d$  و  $\mu t$  را تشکیل می‌دهد. در مسیر سوم اتم  $\mu p$  می‌تواند با جذب پروتون دیگری مولکول  $pp\mu$  را با احتمال  $q_{pp\mu}$  تشکیل دهد؛ این شاخه به دلیل پائین بودن آهنگ واکنش در محاسبات کنار گذاشته شده است. حتی در هر کدام از این مسیرها نیز احتمال واپاشی میونی و درنتیجه توقف فرآیند همجوشی وجود دارد. اتم  $\mu d$  نیز می‌تواند مسیرهای مختلفی را طی نماید، با جذب پروتون، می‌تواند مولکول پروتون - دوتیریوم میوندار را با احتمال  $q_{pd\mu}$  تشکیل دهد سپس این مولکول با ثابت واپاشی  $\lambda_{pd\mu}$  به دو شاخه  ${}^3He + \gamma + \mu + {}^3He$  و  $\mu + {}^3He + \gamma + {}^3He$  تقسیم گردد که در آن  $\omega_{pd\mu}$  احتمال چسبیدن میون به هسته  ${}^3He$  می‌باشد. اگر میون به  ${}^3He$  بچسبد، دیگر توانایی برگشتن به چرخه را نخواهد داشت، اما اگر شاخه  ${}^3He + \mu$  تشکیل شود، میون می‌تواند دوباره به شبکه بازگردد و واکنش همجوشی دیگری را کاتالیز کند، و یا اتم  $\mu d$  می‌تواند با دوتیریوم دیگری با احتمال  $q_{dd\mu}$  تشکیل مولکول  $dd\mu$  را بدهد و



شکل ۳. شبکه واکنش جامع در محیط مایع حاوی مخلوط سه گاز H/T/D.

$$\begin{aligned} \frac{dN_{\mu p}}{dt} = & q_{\mu p} N_{\mu} C_p \Phi N_0 - q_{p \mu} N_{\mu p} C_p \Phi N_0 \\ & - q_{pd} N_{\mu p} C_d \Phi N_0 - q_{pt} N_{\mu p} C_t \Phi N_0 - \lambda_{\mu} N_{\mu p} \end{aligned} \quad (22)$$

$$\begin{aligned} \frac{dN_{\mu d}}{dt} = & q_{\mu d} N_{\mu} C_d \Phi N_0 + q_{pd} N_{\mu p} C_d \Phi N_0 - \lambda_{\mu} N_{\mu d} \\ & - q_{pd} N_{\mu d} C_p \Phi N_0 - q_{dt} N_{\mu d} C_t \Phi N_0 \\ & - q_{dd} N_{\mu d} C_d \Phi N_0 \end{aligned} \quad (23)$$

$$\begin{aligned} \frac{dN_{\mu t}}{dt} = & q_{\mu t} N_{\mu} C_t \Phi N_0 + q_{pt} N_{\mu p} C_t \Phi N_0 \\ & + q_{dt} N_{\mu d} C_t \Phi N_0 - q_{pt} N_{\mu t} C_t \Phi N_0 \\ & - q_{pt} N_{\mu t} C_t \Phi N_0 - \lambda_{\mu} N_{\mu t} \end{aligned} \quad (24)$$

$$\frac{dN_{pp\mu}}{dt} = q_{pp\mu} N_{\mu p} C_p \Phi N_0 - \lambda_{\mu} N_{pp\mu} \quad (25)$$

$$\begin{aligned} \frac{dN_{pd\mu}}{dt} = & q_{pd\mu} N_{\mu p} C_p \Phi N_0 - \lambda_{pd\mu} N_{pd\mu} \\ & - \lambda_{\mu} N_{pd\mu} \end{aligned} \quad (26)$$

$$\begin{aligned} \frac{dN_{dd\mu}}{dt} = & q_{dd\mu} N_{\mu d} C_d \Phi N_0 - \lambda_{dd\mu} N_{dd\mu} \\ & - \lambda_{\mu} N_{dd\mu} \end{aligned} \quad (27)$$

$$\begin{aligned} \frac{dN_{dt\mu}}{dt} = & q_{dt\mu} N_{\mu t} C_d \Phi N_0 - \lambda_{dt\mu} N_{dt\mu} \\ & - \lambda_{\mu} N_{dt\mu} \end{aligned} \quad (28)$$

$$\begin{aligned} \frac{dN_{pt\mu}}{dt} = & q_{pt\mu} N_{\mu t} C_p \Phi N_0 - \lambda_{pt\mu} N_{pt\mu} \\ & - \lambda_{\mu} N_{pt\mu} \end{aligned} \quad (29)$$

در نوشتن معادلات دینامیکی از این شبکه‌ها صرف نظر شده است. همچنین در مخلوط سه گاز براساس مطالعات تجربی، درصد حضور گازها متفاوت است و معمولاً درصدهای غنی تراز پروتون، جوابهای بهتری داده است و لذا از آنجاکه بررسی غلظت شرکت سه گاز نیز مورد مطالعه است، معادلات دینامیکی را با توجه به غلظت گازهای شرکت‌کننده خواهیم نوشت.

برای فرمولبندی مسئله توازن انرژی، شکل ۳ را درنظر گرفته‌ایم که باز هم میونها عهددار آغاز و نگهداری شبکه واکنش خواهند بود و چگالی‌های مختلف اتمی - ذرهای را می‌توان توسط معادلات میزان فرمولبندی کرد:

$$\frac{dN_{\mu}}{dt} = s_{\mu} - \lambda_{\mu} - q_{\mu t} N_{\mu} C_t \Phi N_0 - q_{\mu d} N_{\mu} C_d \Phi N_0$$

$$- q_{\mu p} N_{\mu} C_p \Phi N_0 + \lambda_{pd\mu} N_{pd\mu} (1 - \omega_{\gamma s})$$

$$+ \lambda_{dd\mu} N_{dd\mu} (1 - p) (1 - \omega_{\gamma s}) + \lambda_{dd\mu} N_{dd\mu}$$

$$+ \lambda_{dt\mu} N_{dt\mu} (1 - \omega_{\gamma s}) + \lambda_{pt\mu} N_{pt\mu} (1 - \omega_{\gamma s}) \quad (18)$$

$$\frac{dN_p}{dt} = - q_{\mu p} N_{\mu} C_p \Phi N_0 - q_{pp\mu} N_{\mu p} C_d \Phi N_0$$

$$- q_{pd} N_{\mu p} C_p \Phi N_0 + q_{pt} N_{\mu p} C_t \Phi N_0$$

$$- q_{pd} N_{\mu d} C_p \Phi N_0 + \lambda_{dd\mu} N_{dd\mu} P$$

$$- q_{pt} N_{\mu t} C_p \Phi N_0 \quad (19)$$

$$\frac{dN_d}{dt} = - q_{\mu d} N_{\mu} C_d \Phi N_0 - q_{dd\mu} N_{\mu d} C_d \Phi N_0$$

$$+ q_{dt} N_{\mu d} C_t \Phi N_0 - q_{d\mu} N_{\mu t} C_d \Phi N_0$$

$$- q_{pd} N_{\mu p} C_d \Phi N_0, \quad (20)$$

$$\frac{dN_t}{dt} = - q_{\mu t} N_{\mu} C_t \Phi N_0 - q_{dt} N_{\mu d} C_t \Phi N_0$$

$$- q_{pt} N_{\mu p} C_t \Phi N_0 + \lambda_{dd\mu} N_{dd\mu} P (1 - \omega_{\gamma s}) \quad (21)$$

چگالی مولکولهای میوندار می‌باشد. حال با جانشانی روابط فوق در معادله انرژی خروجی داریم،

$$\begin{aligned} E_{\text{out}} &= Q_{pd} \int_0^{\tau + \tau_\mu} \lambda_{pd\mu} N_{pd\mu}(t) + \\ &+ Q_{pt} \int_0^{\tau + \tau_\mu} \lambda_{pt\mu} N_{pt\mu}(t) dt \\ &+ Q_{dd} \int_0^{\tau + \tau_\mu} \lambda_{dd\mu} N_{dd\mu}(t) dt \\ &+ Q_{dt} \int_0^{\tau + \tau_\mu} \lambda_{dt\mu} N_{dt\mu}(t) dt \end{aligned} \quad (36)$$

و مشابه حالت دو گاز، نسبت تکثیر انرژی،  $M_E$ ، با رابطه زیر داده می‌شود،

$$\begin{aligned} M_E &= \frac{E_{\text{out}}}{E_{\text{in}}} = \left[ \frac{Q_{pd}}{E_\mu} \right] \frac{\int_0^{\tau + \tau_\mu} \lambda_{pd\mu} N_{pd\mu}(t) dt}{\int_0^\tau S_\mu(t) dt} \\ &+ \left[ \frac{Q_{pt}}{E_\mu} \right] \frac{\int_0^{\tau + \tau_\mu} \lambda_{pt\mu} N_{pt\mu}(t) dt}{\int_0^\tau S_\mu(t) dt} \\ &+ \left[ \frac{Q_{dd}}{E_\mu} \right] \frac{\int_0^{\tau + \tau_\mu} \lambda_{dd\mu} N_{dd\mu}(t) dt}{\int_0^\tau S_\mu(t) dt} \\ &+ \left[ \frac{Q_{dt}}{E_\mu} \right] \frac{\int_0^{\tau + \tau_\mu} \lambda_{dt\mu} N_{dt\mu}(t) dt}{\int_0^\tau S_\mu(t) dt} \end{aligned} \quad (37)$$

که در آن  $Q_{pd}$ ،  $Q_{dt}$  و  $Q_{dd}$  از  $Q_{pt}$ ،  $Q_{pd}$ ،  $Q_{dt}$  و  $Q_{dd}$  انترژی رها شده از همجوشی می‌باشد. بازده‌های کاتالیزور میون را،  $\chi_\mu^{pd\mu}$ ،  $\chi_\mu^{pt\mu}$  و  $\chi_\mu^{dd\mu}$  تعریف می‌کنیم، که هر یک نشان‌دهنده میانگین تعداد پدیده همجوشی کاتالیز شده بوسیله یک میون در شاخه مربوطه می‌باشد

در معادلات فوق  $C_p$ ،  $C_d$  و  $C_t$  به ترتیب کسر غلظتهاي مربوط به پروتون، دوتربیوم و تریتیوم است و  $1 = C_p + C_d + C_t$ .  $\phi$  ضریبی از چگالی هیدروژن مایع و  $\lambda_{pd\mu}$ ،  $\lambda_{pt\mu}$  و ... میانگین زمانی نیمه عمر میون و ثابت واپاشی مولکولهای  $pd\mu$  و  $pt\mu$  و  $dd\mu$  و  $dt\mu$  و  $q_{pd\mu}$  و  $q_{pt\mu}$  و ... آهنگ تشکیل اتم‌های  $pd$  و  $pt$  و  $dd$  و  $dt$  مولکولهای  $dt\mu$  و ... در واحد حجم و  $N_{pd\mu}$ ،  $N_{pt\mu}$ ،  $N_{dd\mu}$  و  $N_{dt\mu}$  ... چگالی میون و دانسیته اتم  $pd$  و  $pt$  و  $dd$  و  $dt$  دانسیته مولکول و  $dt\mu$  می‌باشد. معادلات فوق معادلات غیرخطی جفت شده هستند که در آنها:

$$C_p \Phi N_p = N_p, \quad (30)$$

$$C_d \Phi N_d = N_d, \quad (31)$$

$$C_t \Phi N_t = N_t, \quad (32)$$

و  $10^{22} \times 4/22 = N_0$  اتم بر سانتی‌متر مکعب، چگالی ذرهای هیدروژن مایع است.

**D-T-H** با تشابه با مخلوط دو گاز، داریم،

$$E_{\text{in}} = \int_0^\tau s_\mu(t) E_\mu dt = E_\mu \int_0^\tau s_\mu(t) dt \quad (33)$$

و انرژی هسته‌ای کل رها شده عبارتست از:

$$\begin{aligned} E_{\text{out}} &= \left[ \int_0^{\tau + \tau_\mu} \left[ \frac{-dN_{pd\mu}}{dt} \right]_{\text{decay}} Q_{pd} \right. \\ &+ \left. \left[ \frac{-dN_{pt\mu}}{dt} \right]_{\text{decay}} Q_{pt} + \left[ \frac{-dN_{dd\mu}}{dt} \right]_{\text{decay}} Q_{dd} \right. \\ &\left. + \left[ \frac{-dN_{dt\mu}}{dt} \right]_{\text{decay}} Q_{dt} \right] dt \end{aligned} \quad (34)$$

پارامترهای استفاده شده در معادلات فوق شبیه پارامترهایی است که در مخلوط دو گاز نیز معرفی شدند. حال می‌توان واپاشی مولکولهای  $pd\mu$ ،  $pt\mu$ ،  $dd\mu$  و  $dt\mu$  را به صورت زیر نوشت،

$$\left[ \frac{-dN_{( )}}{dt} \right]_{\text{decay}} = \lambda_{( )} N_{( )}(t) \quad (35)$$

که در آنها  $( )$  اما ثابت‌های واپاشی منجر به همجوشی و  $N_{( )}$

است. در این حالت مشخصه، ضرایب تکثیر را می‌توان به صورت ساده شده زیرنوشت:

$$\chi_{\mu} = \Sigma \chi_{\mu}^{(\mu)} \quad (42)$$

که در آن

$$\chi_{\mu}^{(\mu)} = \frac{\lambda_{\mu}^* N_{\mu}^{*\tau + \tau_{\mu}}}{S_{\mu}^*} = \lambda_{\mu} \frac{N_{\mu}^*}{S_{\mu}^*}, \quad (43)$$

و  $\lambda$  همان تعریف قبلی را داشته و  $N^*$  مقادیر ثابت چگالی‌های مولکولی است. نظر به اینکه زمان کار سیستم هم‌جوشی،  $\tau$ ، خیلی طولانی است، در نتیجه  $\tau < \tau_{\mu}$  و از تقریب  $\tau = \tau_{\mu} + \tau$  استفاده شده است. ثابت بودن  $N_{\mu}$  ها، نشان‌دهنده آن است که چگالی تمام ذرات میانهای، نسبت به زمان ثابت می‌ماند و از حل معادلات (۲۱) الی (۲۸) چگالی مربوط به هر کدام از اتمها و مولکولها بدست می‌آید.

$$\text{از معادله } 0 = \frac{dN_{pt\mu}}{dt},$$

$$N_{pt\mu} = \frac{q_{pt\mu} N_{\mu t} N_p}{\lambda_{pt\mu} + \lambda_{\mu}} \quad (44)$$

$$q_{dt\mu} N_{\mu t} N_d - \lambda_{dt\mu} N_{dt\mu} - \lambda_{\mu} N_{dt\mu} = 0 \quad \text{همچنین از معادله } 0 = \frac{dN_{dt\mu}}{dt},$$

$$N_{dt\mu} = \frac{q_{dt\mu} N_{\mu t} N_p}{\lambda_{dt\mu} + \lambda_{\mu}} \quad (45)$$

به طور مشابه، چگالی‌های مولکولی را بدست می‌آوریم:

$$N_{dd\mu} = \frac{q_{dd\mu} N_{\mu t} N_p}{\lambda_{dd\mu} + \lambda_{\mu}} \quad (46)$$

$$N_{pd\mu} = \frac{q_{pd\mu} N_{\mu t} N_p}{\lambda_{pd\mu} + \lambda_{\mu}} \quad (47)$$

$$N_{\mu t} = \frac{(q_{\mu t} N_{\mu} + q_{pt} N_{\mu p} + q_{dt} N_{\mu d}) N_t}{q_{dt\mu} N_t + q_{pt\mu} N_p + \lambda_{\mu}} \quad (48)$$

$$N_{\mu d} = \frac{(q_{\mu d} N_{\mu} + q_{pd} N_{\mu p}) N_d}{q_{pd\mu} N_p + q_{dt\mu} N_t + q_{dd\mu} N_d + \lambda_{\mu}} \quad (49)$$

و بالاخره برای چگالی پروتون میوندار داریم،

و با روابط زیر تعریف می‌شوند:

$$\chi_{\mu}^{pd\mu} = \frac{\int_{0}^{\tau + \tau_{\mu}} \lambda_{pd\mu} N_{pd\mu}(t) dt}{\int_{0}^{\tau} S_{\mu}(t) dt} \quad (38)$$

$$\chi_{\mu}^{pt\mu} = \frac{\int_{0}^{\tau + \tau_{\mu}} \lambda_{pt\mu} N_{pt\mu}(t) dt}{\int_{0}^{\tau} S_{\mu}(t) dt} \quad (39)$$

$$\chi_{\mu}^{dd\mu} = \frac{\int_{0}^{\tau + \tau_{\mu}} \lambda_{dd\mu} N_{dd\mu}(t) dt}{\int_{0}^{\tau} S_{\mu}(t) dt} \quad (40)$$

$$\chi_{\mu}^{dt\mu} = \frac{\int_{0}^{\tau + \tau_{\mu}} \lambda_{dt\mu} N_{dt\mu}(t) dt}{\int_{0}^{\tau} S_{\mu}(t) dt} \quad (41)$$

این پارامترها را می‌توان در صورتی کهتابع زمانی میزان تزریق میون همراه تابع زمانی غلظت مولکولهای  $S_{\mu}(t)$ ،  $pt\mu$ ،  $pd\mu$ ،  $dd\mu$  و  $dt\mu$  معلوم باشد، می‌توان تعیین کرد. اما همانطور که قبلاً نیز اشاره شد  $S_{\mu}(t)$  توسط کارکرد شتابدهنده تعیین می‌گردد ولی غلظت مولکولها را فقط از حل عددی معادلات دینامیکی سیستم تعیین می‌کنیم. این معادلات را می‌توان به راحتی از طریق روش عددی رونگا - کوتای مرتبه چهارم حل کرد [۶]. از آنجا که یک سیستم هم‌جوشی یا تزریق میونی در ضمن کار می‌باشد در حالت پایا باشد، یعنی بین تزریق میونها و مصرف آنها حالت پایا برقرار باشد، در طول زمان کار سیستم، میزان تزریق  $(t)$  را ثابت فرض می‌کنیم، یعنی  $(t) = S_{\mu}^*(t)$ . بنابراین با توجه به شرایط فیزیکی محیط، چگالی‌های مولکولی  $S_{\mu}(t)$ ،  $pt\mu$ ،  $pd\mu$  و  $dd\mu$  به  $dt\mu$  مقدار ثابت  $N_{\mu t}$ ،  $N_{\mu d}$ ،  $N_{\mu p}$  و  $N_{\mu dd}$ ، که مشخصه حالت پایا هستند، می‌رسند. علت این را می‌توان چنین توجیه کرد: به طوری که در مخلوط دو گاز ملاحظه شد اگر یک میون تزریق شود به طور متوسط حدود ۱۴۲ هم‌جوشی را همراهی خواهد کرد و این چنین مقدار مصروف، در مقابل چگالی ذرات موجود بسیار کوچک است، به طوری که دخالت دادن این تغییرات در نتایج محاسبات تغییرات جدی ایجاد نمی‌کند. یادآوری می‌شود که چگالی‌ها در حدود چگالی ذرهای هیدروژن مایع یا کسری از آن

$$\begin{aligned}\beta &= \left[ q_{pp\mu}N_p + q_{pd}N_d + q_{pt}N_t + \lambda_\mu \right]^{-1} \\ &\times \left[ q_{dt\mu}N_t + q_{pt\mu}N_p + \lambda_\mu \right]^{-1} \\ &\times \left[ q_{pt}N_t q_{\mu p}N_p + (q_{\mu t}N_t + q_{dt}N_t)\alpha \right. \\ &\quad \left. \times (q_{pp\mu}N_p + q_{pd}N_d + q_{pt}N_t + \lambda_\mu) \right],\end{aligned}\quad (56)$$

$$N_{\mu p} = \frac{q_{\mu p} N_\mu N_p}{q_{pp\mu} N_p + q_{pd} N_d + q_{pt} N_t + \lambda_\mu}, \quad (57)$$

که اگر مقدار  $N_{\mu d}$  را در معادله قرار دهیم داریم:

$$N_{\mu d} = N_\mu \alpha, \quad (58)$$

که در آن

$$\alpha = \frac{[(q_{pd}N_d)(q_{pp\mu}N_p + q_{pd}N_d + q_{pt}N_t + \lambda_\mu) + q_{pd}q_{\mu p}N_dN_p]}{(q_{pp\mu}N_p + q_{pd}N_d + q_{pt}N_t + \lambda_\mu)(q_{dt\mu}N_t + q_{pt\mu}N_p + \lambda_\mu)}, \quad (59)$$

برای چگالی مولکول  $\mu t$  و  $dt\mu$  و  $p t \mu$  داریم:

$$N_{\mu t} = N_\mu \beta, \quad (60)$$

$$N_{dt\mu} = \frac{q_{dt\mu}N_dN_\mu}{\lambda_{dt\mu} + \lambda_\mu} \beta, \quad (61)$$

$$N_{pt\mu} = \frac{q_{pt\mu}N_pN_\mu}{\lambda_{pt\mu} + \lambda_\mu} \beta. \quad (62)$$

با قرار دادن  $N_{\mu d} = N_\mu \alpha$  در رابطه مربوط به  $N_{\mu pd}$  و  $N_{\mu dd}$  داریم،

$$N_{dd\mu} = \frac{q_{dd\mu}N_d}{\lambda_{dd\mu} + \lambda_\mu} N_\mu \alpha, \quad (63)$$

$$N_{pd\mu} = \frac{q_{pd\mu}N_p}{\lambda_{pd\mu} + \lambda_\mu} N_\mu \alpha, \quad (64)$$

حال با توجه به  $\frac{dN_\mu}{dt} = 0$  و استفاده از معادله ۱۸ و جایگزینی  $N_{\mu pd}$  و  $N_{\mu dd}$  در آن و با کمی ساده کردن بدست می آوریم،

$$\frac{N_\mu}{S_\mu} = [\lambda_\mu + q_{\mu t}N_t + q_{\mu d}N_d + q_{\mu p}N_p$$

$$-\lambda_{pd\mu} \frac{q_{pd\mu}N_p\alpha}{\lambda_{pd\mu} + \lambda_\mu} (1 - \omega_{\gamma s})]$$

$$-\lambda_{dd\mu} \frac{q_{dd\mu}N_d\alpha}{\lambda_{dd\mu} + \lambda_\mu} \times (1 - \omega_{\gamma s} + p\omega_{\gamma s})]$$

$$-\lambda_{dt\mu} \frac{q_{dt\mu}N_d\beta}{\lambda_{dt\mu} + \lambda_\mu} (1 - \omega_{\gamma s})]$$

با قرار دادن مقدار  $N_{\mu t}$  و  $N_{\mu d}$  در معادله داریم،

$$N_{\mu t} = N_\mu \frac{q_{pt}q_{\mu p}N_tN_p + (q_{\mu t}N_t + q_{dt}N_t)\alpha(q_{pp\mu}N_p + q_{pd}N_d + q_{pt}N_t + \lambda_\mu)}{(q_{pp\mu}N_p + q_{pd}N_d + q_{pt}N_t + \lambda_\mu)(q_{dt\mu}N_t + q_{pt\mu}N_p + \lambda_\mu)}, \quad (65)$$

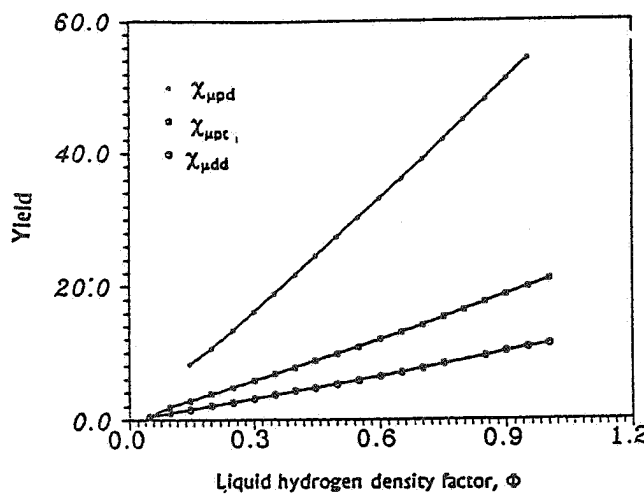
که اگر در معادله  $N_{\mu dt}$  جایگزین شود خواهیم داشت،

$$\begin{aligned}N_{dt\mu} &= \frac{q_{dt\mu}N_dN_\mu}{\lambda_{dt\mu} + \lambda_\mu} \left[ q_{pp\mu}N_p + q_{pd}N_d + q_{pt}N_t + \lambda_\mu \right]^{-1} \\ &\times \left[ q_{dt\mu}N_t + q_{pt\mu}N_p + \lambda_\mu \right]^{-1} \\ &\times \left[ q_{pt}N_t q_{\mu p}N_p + (q_{\mu t}N_t + q_{dt}N_t)\alpha \right. \\ &\quad \left. \times (q_{pp\mu}N_p + q_{pd}N_d + q_{pt}N_t + \lambda_\mu) \right]\end{aligned} \quad (66)$$

با جایگزایی  $N_{\mu t}$  در رابطه  $N_{pt\mu}$  داریم،

$$\begin{aligned}N_{dt\mu} &= \frac{q_{pt\mu}N_pN_\mu}{\lambda_{pt\mu} + \lambda_\mu} \left[ q_{pp\mu}N_p + q_{pd}N_d + q_{pt}N_t + \lambda_\mu \right]^{-1} \\ &\times \left[ q_{dt\mu}N_t + q_{pt\mu}N_p + \lambda_\mu \right]^{-1} \\ &\times \left[ q_{pt}q_{\mu p}N_tN_p + (q_{\mu t}N_t + q_{dt}N_t)\alpha \right. \\ &\quad \left. \times (q_{pp\mu}N_p + q_{pd}N_d + q_{pt}N_t + \lambda_\mu) \right]\end{aligned} \quad (67)$$

با معرفی پارامتر  $\beta$  به صورت



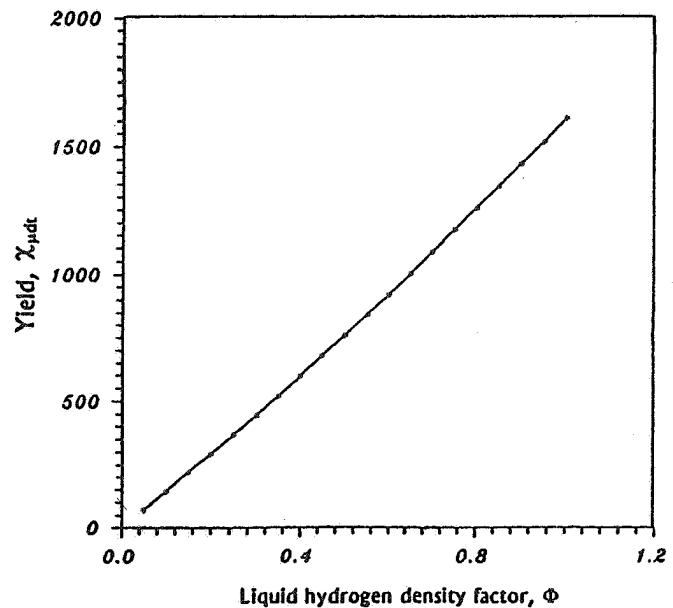
شکل ۵. ضریب تکثیر میونی شاخه همجوشی  $dd\mu$ ,  $pt\mu$ ,  $dt\mu$  بر حسب ضریبی از دانسیته‌های هیدروژن در مخلوط سه گاز  $H/T/D$

تغییرات چگالی با ضریبی از چگالی هیدروژن مایع،  $\phi$ ، در ازای  $C_p = 0/1$  و  $C_d = 0/1$  محاسبه و در جدول ۳ آورده شده است. سپس منحنی‌های مریوط به ضریب تکثیر میونی هر یک از شاخه‌ها بر حسب  $\phi$  در شکل‌های ۴ و ۵ نمایش داده شده است. با توجه به این نتایج می‌توان دریافت که ضریب تکثیر میونی:

۱. در شاخه  $dt\mu$  با افزایش  $\phi$ ، بالا رفته و در  $1 = \phi$ ، تا قبل از واپاشی میون،  $1613$  همجوشی در ازای آهنگ همجوشی  $\lambda_{dt\mu} = 1/1 \times 10^{-12}$  و ضریب چسبندگی  $\omega_{ds} = 0/006$  خواهیم داشت.

۲. در شاخه‌های دیگر همجوشی، با افزایش  $\phi$ ، ضرایب تکثیر میونی نسبت به شاخه  $dt\mu$ ، از میزان بسیار کمتری برخوردار هستند به طوری که شاخه  $pt\mu$  می‌تواند حداقل  $20$  واکنش همجوشی را در ازای  $\lambda_{pt\mu}$  و  $\omega_{ps} = 0/095$  و شاخه  $pd\mu$  حداقل  $6$  واکنش همجوشی را در ازای  $\lambda_{pd\mu} = 0/31 \times 10^{-9}$  و شاخه  $dd\mu$  حداقل  $10$  واکنش همجوشی را در ازای  $\lambda_{dd\mu} = 0/12$  و  $\omega_{ds} = 0/012$ ، و در  $1 = \phi$  قبل از واپاشی میون کاتالیز نمایند.

۳. می‌توان نتیجه گرفت که علت افزایش ضریب تکثیر میونی در شاخه  $dt\mu$ ، داشتن آهنگ همجوشی بالا و ضریب چسبندگی بسیار پائین و انتخاب غلظت‌های مناسب  $C_p$  و  $C_d$  می‌باشد. برای اینکه بتوانیم نتیجه بدست آمده را با غلظت‌های دیگر (در ازای ثابت بودن آهنگ همجوشیها و ضرائب چسبندگی) مقایسه نمائیم، ضرایب تکثیر میونی مریوط به هر شاخه در ازای غلظت‌های



شکل ۶. ضریب تکثیر میونی شاخه همجوشی  $dt\mu$  بر حسب ضریبی از دانسیته‌های هیدروژن در مخلوط سه گاز  $H/T/D$

$$-\lambda_{pt\mu} \frac{q_{pt\mu} N_p \beta}{\lambda_{pt\mu} + \lambda_\mu} (1 - \omega_{ps})]^{-1} \quad (62)$$

تحت این شرایط اگر  $N_{\mu pd}$ ,  $N_{\mu pt}$ ,  $N_{\mu dt}$  و  $N_{\mu dd}$  را در روابط (۳۶) الی (۳۹) قرار دهیم مقادیر تکثیر میونی حالت‌های مختلف حاصل می‌شود:

$$\chi_{\mu}^{pd\mu} = \lambda_{pd\mu} \frac{N_\mu}{S_\mu} \alpha \frac{q_{pd\mu} N_p}{\lambda_{pd\mu} + \lambda_\mu}, \quad (63)$$

$$\chi_{\mu}^{pt\mu} = \lambda_{pt\mu} \frac{N_\mu}{S_\mu} \beta \frac{q_{pt\mu} N_p}{\lambda_{pt\mu} + \lambda_\mu}, \quad (64)$$

$$\chi_{\mu}^{dd\mu} = \lambda_{dd\mu} \frac{N_\mu}{S_\mu} \alpha \frac{q_{dd\mu} N_d}{\lambda_{dd\mu} + \lambda_\mu}, \quad (65)$$

$$\chi_{\mu}^{dt\mu} = \lambda_{dt\mu} \frac{N_\mu}{S_\mu} \beta \frac{q_{dt\mu} N_d}{\lambda_{dt\mu} + \lambda_\mu}. \quad (66)$$

حال با توجه به محاسبات انجام گرفته برای مخلوط سه گاز و استفاده از جدول ۲، ضرایب تکثیر میونی در هر یک از شاخه‌های همجوشی مخلوط سه گاز ( $dt\mu$ ,  $dd\mu$ ,  $pt\mu$  و  $pd\mu$ ) بر حسب

جدول ۲. پارامترهای مربوط به فرآیند  $D/T/H$  در دمای  $300\text{ K}$  در محیط  $\mu + d + t + p$  [۲۱-۲۲]

PROCESS	PARAMETER	VALUE
MUON DECAY	$\lambda_\mu$	$0/450E6\text{ s}^{-1}$
MUON D-T FISSION RATE	$\lambda_{\mu dt}$	$0/11E13\text{ s}^{-1}$
MUON P-T FISSION RATE	$\lambda_{\mu pt}$	$0/10E6\text{ s}^{-1}$
MUON D-D FISSION RATE	$\lambda_{\mu dd}$	$0/21E9\text{ s}^{-1}$
MUON P-D FISSION RATE	$\lambda_{\mu pd}$	$0/22E6\text{ s}^{-1}$
MUON-D ATOM FORMATION	$q_{\mu d}$	$0/188E-1\text{ CM}^{+3}\text{ s}^{-1}$
MUON-P ATOM FORMATION	$q_{\mu p}$	$0/188E-1\text{ CM}^{+3}\text{ s}^{-1}$
MUON-T ATOM FORMATION	$q_{\mu t}$	$0/188E-1\text{ CM}^{+3}\text{ s}^{-1}$
MUON D-T MOLECULE FORMATION	$q_{\mu dt}$	$0/470E-14\text{ CM}^{+3}\text{ s}^{-1}$
MUON D-D MOLECULE FORMATION	$q_{\mu dd}$	$0/164E-14\text{ CM}^{+3}\text{ s}^{-1}$
MUON P-D MOLECULE FORMATION	$q_{\mu pd}$	$0/262E-14\text{ CM}^{+3}\text{ s}^{-1}$
MUON P-T MOLECULE FORMATION	$q_{\mu pt}$	$0/205E-14\text{ CM}^{+3}\text{ s}^{-1}$
MUON P-P MOLECULE FORMATION	$q_{\mu pp}$	$0/103E-14\text{ CM}^{+3}\text{ s}^{-1}$
ISOTOPE EXCHANGE DT	$q_{dt}$	$0/164E-14\text{ CM}^{+3}, \text{ s}^{-1}$
ISOTOPE EXCHANGE PT	$q_{pt}$	$0/258E-11\text{ CM}^{+3}, \text{ s}^{-1}$
ISOTOPE EXCHANGE PD	$q_{pd}$	$0/88E-11\text{ CM}^{+3}, \text{ s}^{-1}$
MUON P-D STICKING PROBABILITY	$\omega_{1s}$	$0/80$
MUON D-D STICKING PROBABILITY	$\omega_{2s}$	$0/12$
MUON D-T STICKING PROBABILITY	$\omega_{3s}$	$0/006$
MUON P-T STICKING PROBABILITY	$\omega_{4s}$	$0/095$
CONCENTRATION OF PROTONIUM	$C_p$	$0/3$
CONCENTRATION OF DEUTERIUM	$C_d$	$0/1$
CONCENTRATION OF TRITIUM	$C_t$	$0/1$
LIQUID HYDROGEN DENSITY FACTOR	$\phi$	$0/0.5-1$
PROBABILITY	$P$	$0/42$

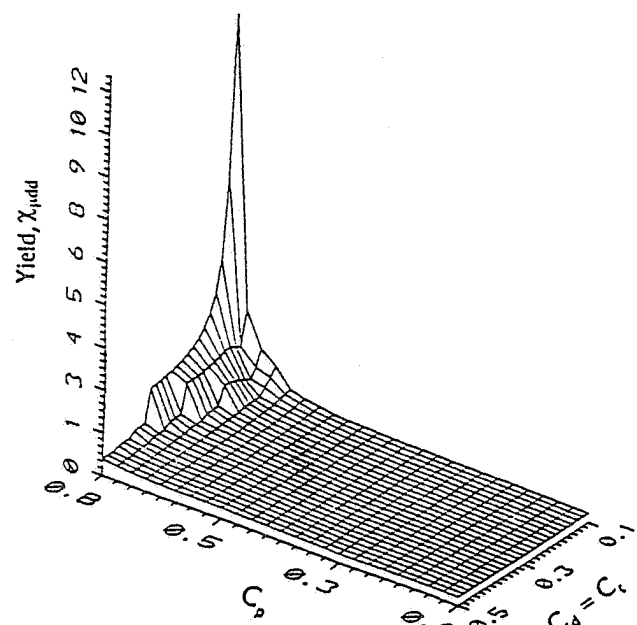
جدول ۳. مقادیر عددی بازده کاتالیزور میونی در هر یک از شاخه‌های همجوشی مخلوط سه گاز ( $C_p = 0/\lambda, C_t = C_d = 0/1$ ) در ازای  $\phi$  های مختلف،  $\phi$  کسر چگالی نسبت به هیدروژن مابع است.

$\phi$	$\chi_{\mu dt}$	$\chi_{\mu dd}$	$\chi_{\mu pt}$	$\chi_{\mu pd}$
0/0	0/77312E2	0/508000	0/9323100	0/25877E1
0/10	0/14040E3	0/10216E1	0/18749E1	0/52037E1
0/15	0/21942E3	0/15412E1	0/28290E1	0/78512E1
0/2	0/29420E3	0/20605E1	0/37929E1	0/10527E2
0/20	0/36977E3	0/25974E1	0/47872E1	0/13223E2
0/3	0/40508E3	0/31320E1	0/57480E1	0/10904E2
0/30	0/52230E3	0/36739E1	0/67431E1	0/18714E2
0/40	0/60220E3	0/42230E1	0/77638E1	0/21040E2
0/45	0/68089E3	0/47872E1	0/87782E1	0/22262E2
0/50	0/76061E3	0/53426E1	0/98091E1	0/27214E2
0/55	0/84174E3	0/59125E1	0/10802E2	0/30117E2
0/60	0/92250E3	0/64869E1	0/11906E2	0/33042E2
0/65	0/100059E4	0/70502E1	0/12968E2	0/35990E2
0/70	0/10887E4	0/76476E1	0/14036E2	0/38954E2
0/75	0/11732E4	0/82410E1	0/15176E2	0/41978E2
0/80	0/12578E4	0/88350E1	0/16217E2	0/45000E2
0/85	0/13342E4	0/94422E1	0/17331E2	0/48097E2
0/90	0/14222E4	0/10067E2	0/18477E2	0/51280E2
0/95	0/15196E4	0/10674E2	0/19591E2	0/54289E2
1/0	0/16131E4	0/11131E2	0/20797E2	0/57717E2

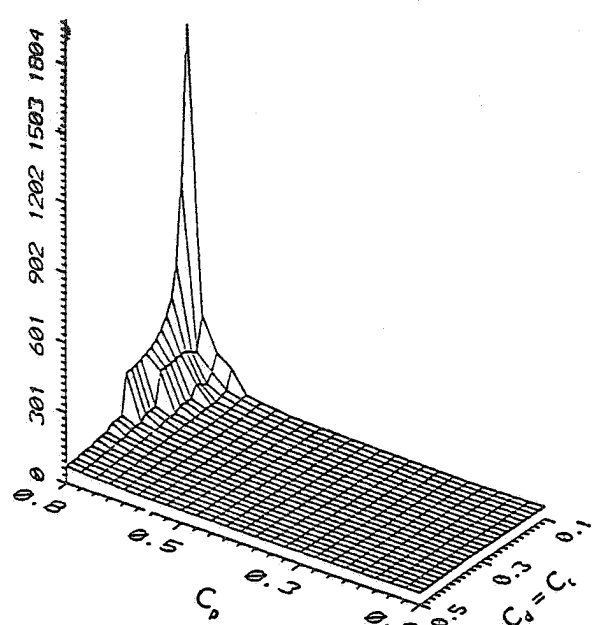
می نماید و شاخه  $d\chi_{\mu\mu}$  در هر حالت، ماکزیمم حالت همچوشی است و شاخه های دیگر همچوشی در ازای انتخاب های انجام شده، می توانند در انجام همچوشی و تعداد همچوشهای از یکدیگر پیشی گیرند. نظر به اینکه حالت  $\phi = 1$ ، مطلوب ترین حالت است لذا نمودارهای سه بعدی ضریب تکثیر میونی در ازای غلظت های مختلف و  $\phi = 1$  در شاخه های مختلف در شکل های ۶ الی ۹ آمده

گوناگون دیگری محاسبه و به علت گستردگی حالت های ممکن، فقط نتایج حاصل از چند حالت در جدولهای ۴ تا ۱۲ آورده شده است. با توجه به این جداول دیده می شود که:

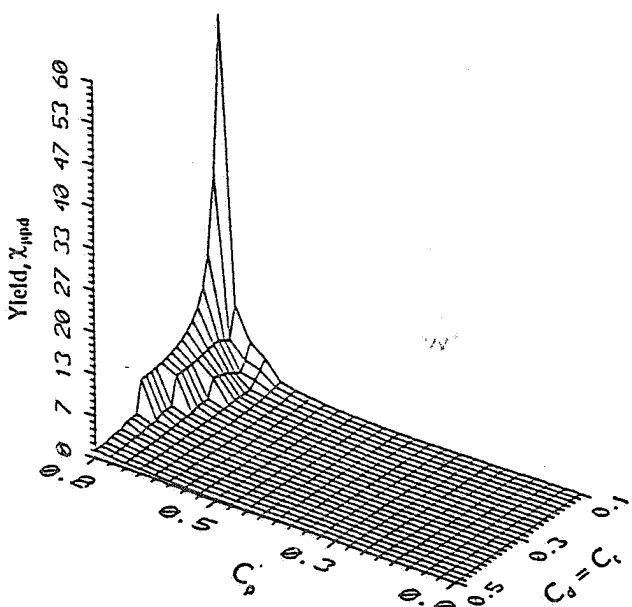
۴. انتخاب غلظت های  $C_p$ ،  $C_d$  و  $C_t$  در تعداد همچوشهایی که می توانند انجام شود، نقش اساسی را بازی



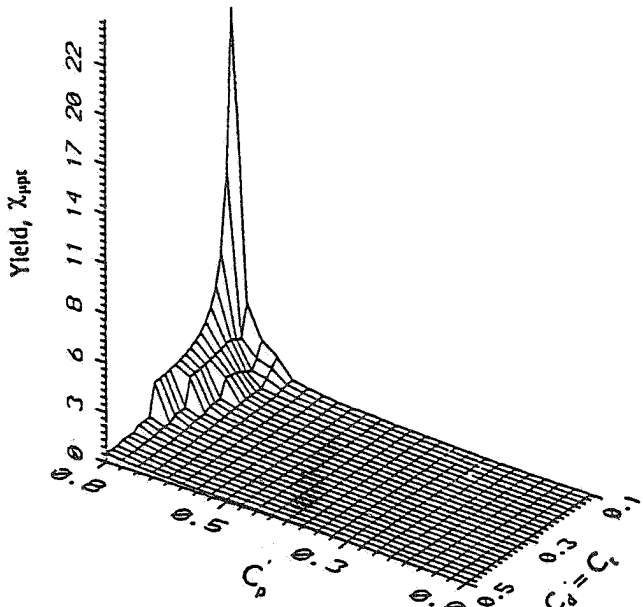
شکل ۶. نمودار سه بعدی ضریب تکثیر میونی شاخه همچوشی  $d\chi_{\mu\mu}$  بر حسب  $C_t = C_d$  در ازای  $\phi = 1$ .



شکل ۶. نمودار سه بعدی ضریب تکثیر میونی شاخه همچوشی  $d\chi_{\mu\mu}$  بر حسب  $C_t = C_d$  در ازای  $\phi = 1$ .



شکل ۷. نمودار سه بعدی ضریب تکثیر میونی شاخه همچوشی  $p\chi_{\mu\mu}$  بر حسب  $C_t = C_d$  در ازای  $\phi = 1$ .



شکل ۸. نمودار سه بعدی ضریب تکثیر میونی شاخه همچوشی  $p\chi_{\mu\mu}$  بر حسب  $C_t = C_d$  در ازای  $\phi = 1$ .

جدول ۴. ضرایب تکثیر میونی مربوط به هر شاخه همجوشی در ازای  $\phi$  و مقادیر مختلف  $C_d = C_t$  و  $C_p$ . در مخلوط سه گاز H/T/D.

$C_p$	$C_d = C_t$	$\chi_{\mu dt}$	$\chi_{\mu pt}$	$\chi_{\mu dd}$	$\chi_{\mu pd}$
۰/۰۲	۰/۴۹	۰/۵۲۵۴۱E۲	۰/۳۴۵۶۱E-۲	۰/۲۶۱۳۱	۰/۶۷۹۱۱E-۲
۰/۰۴	۰/۴۸	۰/۵۲۳۱۱E۲	۰/۷۰۲۰۲E-۲	۰/۲۶۲۵۱	۰/۱۳۹۲۹E-۱
۰/۰۶	۰/۴۷	۰/۵۲۰۹۶E۲	۰/۱۰۷۱۸E-۱	۰/۲۶۳۷۸	۰/۲۱۲۴۱E-۱
۰/۰۸	۰/۴۶	۰/۵۱۹۰۰E۲	۰/۱۴۵۴۶E-۱	۰/۲۶۵۱۳	۰/۲۹۲۵۹E-۱
۰/۱۰	۰/۴۵	۰/۵۱۷۲۲E۲	۰/۱۸۵۲۲E-۱	۰/۲۶۶۰۶	۰/۳۷۷۱۸E-۱
۰/۱۲	۰/۴۴	۰/۵۱۱۳۷E۲	۰/۴۱۲۰۵E-۱	۰/۲۷۵۲۰	۰/۸۷۶۱۲E-۱
۰/۱۴	۰/۴۳	۰/۵۱۴۲۲E۲	۰/۲۶۹۸۱E-۱	۰/۲۶۹۶۸	۰/۰۵۹۰۷E-۱
۰/۱۶	۰/۴۲	۰/۵۱۳۰۵E۲	۰/۳۱۴۹۷E-۱	۰/۲۷۱۴۰	۰/۶۵۸۳۲E-۱
۰/۱۸	۰/۴۱	۰/۵۱۲۰۹E۲	۰/۳۶۲۳۱E-۱	۰/۲۷۳۲۴	۰/۷۶۳۸۱E-۱
۰/۲۰	۰/۴۰	۰/۵۱۱۳۷E۲	۰/۴۱۲۰۵E-۱	۰/۲۷۵۲۰	۰/۸۷۶۱۲E-۱
۰/۲۲	۰/۳۹	۰/۵۱۰۸۹E۲	۰/۴۶۴۴۴E-۱	۰/۲۷۷۲۹	۰/۹۹۰۹۸E-۱
۰/۲۴	۰/۳۸	۰/۵۱۰۶۷E۲	۰/۵۱۹۷۸E-۱	۰/۲۷۹۵۳	۰/۱۱۲۴۱
۰/۲۶	۰/۳۷	۰/۵۱۰۷۹E۲	۰/۵۷۸۴۴E-۱	۰/۲۸۱۹۶	۰/۱۲۶۱۶
۰/۲۸	۰/۳۶	۰/۵۱۱۲۱E۲	۰/۶۴۰۷۶E-۱	۰/۲۸۴۰۷	۰/۱۴۰۹۳
۰/۳۰	۰/۳۵	۰/۵۱۱۹۷E۲	۰/۷۰۲۲۰E-۱	۰/۲۸۷۳۹	۰/۱۵۶۸۵
۰/۳۲	۰/۳۴	۰/۵۱۳۱۲E۲	۰/۷۷۸۲۸E-۱	۰/۲۹۰۴۵	۰/۱۷۴۰۶
۰/۳۴	۰/۳۲	۰/۵۱۸۷۹E۲	۰/۹۳۶۹۴E-۱	۰/۲۹۷۴۲	۰/۲۳۸۲۴
۰/۳۸	۰/۳۱	۰/۵۱۹۳۹E۲	۰/۱۰۲۶۰	۰/۳۰۱۴	۰/۲۱۳۰۵
۰/۴۰	۰/۳۰	۰/۵۲۲۶۲E۲	۰/۱۱۲۳۰	۰/۳۰۵۷۹	۰/۲۵۹۶۰
۰/۴۲	۰/۲۹	۰/۵۲۶۵۷E۲	۰/۱۲۲۹۰	۰/۳۱۰۶۵	۰/۲۸۶۴۷
۰/۴۴	۰/۲۸	۰/۵۳۱۲۹E۲	۰/۱۳۴۰۵	۰/۳۱۶۰۳	۰/۳۱۶۲۱
۰/۴۶	۰/۲۷	۰/۵۳۶۹۷E۲	۰/۱۴۷۴۴	۰/۳۲۲۰۷	۰/۳۴۹۳۸
۰/۴۸	۰/۲۶	۰/۵۴۳۷۷E۲	۰/۱۶۱۷۸	۰/۳۲۸۸۴	۰/۳۸۶۰۵
۰/۵۰	۰/۲۵	۰/۵۵۱۸۹E۲	۰/۱۷۷۸۸	۰/۳۳۶۵۲	۰/۴۲۸۵۵
۰/۵۲	۰/۲۴	۰/۵۶۱۵۸E۲	۰/۱۹۶۰۹	۰/۳۶۷۲۱	۰/۴۷۶۳۶
۰/۵۴	۰/۲۳	۰/۵۷۳۲۲E۲	۰/۲۱۶۸۹	۰/۳۵۰۴۱	۰/۵۳۱۲۱
۰/۵۶	۰/۲۲	۰/۵۸۷۳۰E۲	۰/۲۴۰۹۲	۰/۳۶۷۲۱	۰/۵۹۰۱۶
۰/۵۸	۰/۲۱	۰/۶۰۴۳۲E۲	۰/۲۶۸۹۸	۰/۳۸۱۰۷	۰/۶۷۰۱۵
۰/۶۰	۰/۲۰	۰/۶۲۵۳۵E۲	۰/۳۰۲۳۴	۰/۳۹۷۷۲	۰/۷۰۹۷۳
۰/۶۲	۰/۱۹	۰/۶۵۱۶۴E۲	۰/۳۴۲۶۸	۰/۴۱۸۰۵	۰/۸۶۸۶۱
۰/۶۴	۰/۱۸	۰/۶۸۴۹۶E۲	۰/۳۹۲۴۸	۰/۴۴۲۳۲	۰/۱۰۰۲۶E۱
۰/۶۶	۰/۱۷	۰/۷۱۸۳۹E۲	۰/۴۰۵۷۳	۰/۴۷۰۵۸	۰/۱۱۵۹E۱
۰/۶۸	۰/۱۶	۰/۷۸۶۷۴E۲	۰/۴۳۸۸۵	۰/۵۱۸۵۳	۰/۱۴۰۲۲E۱
۰/۷۰	۰/۱۵	۰/۸۶۸۸۴E۲	۰/۴۵۳۴۲	۰/۵۷۸۰۷	۰/۱۷۱۷۷E۱
۰/۷۲	۰/۱۴	۰/۹۹۱۴۲E۲	۰/۴۸۱۷۰	۰/۶۶۶۱۱	۰/۲۱۸۱۲E۱
۰/۷۴	۰/۱۳	۰/۱۱۹۳۲E۲	۰/۱۰۹۴۶E۱	۰/۱۰۹۹۱	۰/۲۹۳۵۵E۱
۰/۷۶	۰/۱۲	۰/۱۵۸۳۱E۲	۰/۱۶۱۵۸E۱	۰/۱۰۸۶۱E۱	۰/۴۳۷۹۷E۱
۰/۷۸	۰/۱۱	۰/۲۶۴۳۱E۲	۰/۳۰۲۰۴E۱	۰/۱۸۲۴۰E۱	۰/۸۲۸۰۵E۱
۰/۸۰	۰/۱۰	۰/۱۶۱۳۱E۲	۰/۲۰۷۹۷E۲	۰/۱۱۲۳۱E۲	۰/۵۷۷۱۷E۲

جدول ۵. مقادیر عددی بازده کاتالیزور میونی در هر یک از شاخه‌های همجوشی مخلوط سه گاز ( $C_p = C_d = ۰/۱۵$ ,  $C_t = ۰/۷$ ) در ازای  $\phi$  های مختلف

$\phi$	$\chi_{\mu dt}$	$\chi_{\mu dd}$	$\chi_{\mu pt}$	$\chi_{\mu pd}$
۰/۰۵	۰/۹۵۱۱۶E۱	۰/۳۲۸۷۴E-۲	۰/۳۶۴۶۷	۰/۲۹۷۵۷E-۱
۰/۱۵	۰/۱۰۰۰۱E۲	۰/۳۴۰۳۷E-۲	۰/۳۸۳۶۳	۰/۰۲۳۴۳E-۱
۰/۲۵	۰/۱۰۱۰۵E۲	۰/۳۴۸۹۰E-۲	۰/۳۸۷۶۶	۰/۰۲۸۹۳E-۱
۰/۳۵	۰/۱۰۱۵۱E۲	۰/۳۵۰۵۲E-۲	۰/۳۸۹۴۱	۰/۰۳۱۳۲E-۱
۰/۴۵	۰/۱۰۱۷۶E۲	۰/۳۵۱۴۰E-۲	۰/۳۹۰۳۹	۰/۰۳۲۶۶E-۱
۰/۵۵	۰/۱۰۱۹۲E۲	۰/۳۵۱۹۷E-۲	۰/۳۹۱۰۲	۰/۰۳۳۵۲E-۱
۰/۶۵	۰/۱۰۲۰۳E۲	۰/۳۵۲۳۶E-۲	۰/۳۹۱۴۶	۰/۰۳۴۱۱E-۱
۰/۷۵	۰/۱۰۲۱۲E۲	۰/۳۵۲۶۴E-۲	۰/۳۹۱۷۸	۰/۰۳۴۵۵E-۱
۰/۸۵	۰/۱۰۲۱۸E۲	۰/۳۵۲۸۶E-۲	۰/۳۹۲۰۲	۰/۰۳۴۸۸E-۱
۰/۹۵	۰/۱۰۲۲۲E۲	۰/۳۵۳۰۳E-۲	۰/۳۹۲۲۲	۰/۰۳۵۱۵E-۱
۱/۰	۰/۱۰۲۲۵E۲	۰/۳۵۳۱۰E-۲	۰/۳۹۲۳۰	۰/۰۳۵۲۶E-۱

جدول ۶. مقادیر عددی بازده کاتالیزور میونی در هر یک از شاخه‌های همجوشی مخلوط سه گاز ( $C_d = C_t = ۰/۲۵$ ,  $C_p = ۰/۵$ ) در ازای  $\phi$  های مختلف

$\phi$	$\chi_{\mu dt}$	$\chi_{\mu pt}$	$\chi_{\mu dd}$	$\chi_{\mu pd}$
۰/۰۵	۰/۲۳۶۴۵E۲	۰/۱۴۰۶۷	۰/۲۶۶۰۷	۰/۳۳۸۸۳
۰/۱۵	۰/۵۱۱۵۳E۲	۰/۱۶۴۸۷	۰/۳۱۱۹۰	۰/۳۹۷۱۹
۰/۲۵	۰/۵۲۹۷۲E۲	۰/۱۷۰۷۴	۰/۳۲۳۰۶	۰/۴۱۱۲۳
۰/۳۵	۰/۵۳۷۹۲E۲	۰/۱۷۳۳۸	۰/۳۲۸۰۱	۰/۴۱۷۷۰
۰/۴۵	۰/۵۴۲۵۹E۲	۰/۱۷۴۸۸	۰/۳۳۰۸۵	۰/۴۲۱۳۲
۰/۵۵	۰/۵۴۵۶۲E۲	۰/۱۷۵۸۶	۰/۳۳۲۷۰	۰/۴۲۲۶۷
۰/۶۵	۰/۵۴۷۷۳E۲	۰/۱۷۶۰۴	۰/۳۳۳۹۹	۰/۴۲۲۵۷
۰/۷۵	۰/۵۴۹۳۰E۲	۰/۱۷۷۰۵	۰/۳۳۴۹۵	۰/۴۲۶۵۴
۰/۸۵	۰/۵۵۰۵۵E۲	۰/۱۷۷۴۵	۰/۳۳۵۷۱	۰/۴۲۷۵۱
۰/۹۵	۰/۵۵۱۵۱E۲	۰/۱۷۷۷۶	۰/۳۳۶۲۹	۰/۴۲۸۲۵
۱/۰	۰/۵۵۱۸۹E۲	۰/۱۷۷۸۸	۰/۳۳۶۵۲	۰/۴۲۸۵۵

جدول ۷. مقادیر عددی بازده کاتالیزور میونی در هر یک از شاخه‌های همجوشی مخلوط سه گاز ( $C_d = C_t = ۰/۱۵$ ,  $C_p = ۰/۷$ ) در ازای  $\phi$  های مختلف.

$\phi$	$\chi_{\mu dt}$	$\chi_{\mu pt}$	$\chi_{\mu dd}$	$\chi_{\mu pd}$
۰/۰۵	۰/۵۶۰۲۴E۲	۰/۳۷۶۲۱	۰/۳۳۲۸۱	۰/۹۸۸۹۲
۰/۱۵	۰/۷۱۲۴۰E۲	۰/۵۳۵۰۷	۰/۴۷۳۹۸	۰/۱۴۰۸۴E۱
۰/۲۵	۰/۷۷۸۳۹E۲	۰/۵۸۰۵۹	۰/۵۱۷۸۹	۰/۱۵۳۸۸E۱
۰/۳۵	۰/۸۱۰۵۱E۲	۰/۶۰۹۰۵	۰/۵۳۹۲۶	۰/۱۶۰۲۴E۱
۰/۴۵	۰/۸۲۹۵۲E۲	۰/۶۲۳۸۵	۰/۵۵۱۹۱	۰/۱۶۳۹۹E۱
۰/۵۵	۰/۸۴۲۱۴E۲	۰/۶۳۳۳۴	۰/۵۶۰۳۱	۰/۱۶۶۴۹E۱
۰/۶۵	۰/۸۵۰۹۷E۲	۰/۶۳۹۹۸	۰/۵۵۶۱۹	۰/۱۶۸۲۲E۱
۰/۷۵	۰/۸۵۷۷۰E۲	۰/۶۴۵۰۸	۰/۵۷۰۶۹	۰/۱۶۹۵۸E۱
۰/۸۵	۰/۸۶۲۸۸E۲	۰/۶۴۸۹۴	۰/۵۷۴۱۱	۰/۱۷۰۰۹E۱
۰/۹۵	۰/۸۶۷۰۱E۲	۰/۶۵۲۰۴	۰/۵۷۶۸۶	۰/۱۷۱۴۱E۱
۱/۰	۰/۸۶۸۸۴E۲	۰/۶۵۳۴۲	۰/۵۷۸۰۷	۰/۱۷۱۷۷E۱

جدول ۸. مقادیر عددی بازده کاتالیزور میونی در هر یک از شاخه‌های همجوشی مخلوط سه گاز ( $C_t = ۰/۰۶$ ,  $C_d = ۰/۰۰۶$ ,  $C_p = ۰/۰۸$ ) در ازای فراهمای مختلف.

$\phi$	$X_{\mu dt}$	$X_{\mu pt}$	$X_{\mu dd}$	$X_{\mu pd}$
۰/۰۵	۰/۱۳۲۹۸E۱	۰/۲۸۵۷۴	۰/۵۰۹۹۲E-۴	۰/۴۲۲۹۱E-۲
۰/۱۵	۰/۱۴۲۷۵E۱	۰/۳۰۵۷۳	۰/۵۲۵۳۸E-۴	۰/۴۵۴۵۲E-۲
۰/۲۵	۰/۱۴۴۸۸E۱	۰/۳۱۱۳۰	۰/۵۴۲۳۳E-۴	۰/۴۶۱۲۷E-۲
۰/۳۵	۰/۱۴۵۸۱E۱	۰/۳۱۳۳۰	۰/۵۴۲۳۳E-۴	۰/۴۶۲۲۷E-۲
۰/۴۵	۰/۱۴۶۳۳E۱	۰/۳۱۴۴۲	۰/۵۴۴۶۹E-۴	۰/۴۶۴۴۲E-۲
۰/۵۵	۰/۱۴۶۶۶E۱	۰/۳۱۵۱۴	۰/۵۴۵۰۵E-۴	۰/۴۶۴۳۶E-۲
۰/۶۵	۰/۱۴۶۹۰E۱	۰/۳۱۵۶۴	۰/۵۴۶۱۶E-۴	۰/۴۶۴۳۷E-۲
۰/۷۵	۰/۱۴۷۰۷E۱	۰/۳۱۶۰۱	۰/۵۴۶۹۰E-۴	۰/۴۶۴۰۰E-۲
۰/۸۵	۰/۱۴۷۲۰E۱	۰/۳۱۶۲۹	۰/۵۴۶۹۴E-۴	۰/۴۶۴۳۴E-۲
۰/۹۵	۰/۱۴۷۳۰E۱	۰/۳۱۶۵۱	۰/۵۴۷۲۱E-۴	۰/۴۶۴۵۶E-۲
۱/۰	۰/۱۴۷۳۵E۱	۰/۳۱۶۶۱	۰/۵۴۷۳۲E-۴	۰/۴۶۴۶۶E-۲

جدول ۹. مقادیر عددی بازده کاتالیزور میونی در هر یک از شاخه‌های همجوشی مخلوط سه گاز ( $C_t = ۰/۰۶$ ,  $C_d = ۰/۰۴$ ,  $C_p = ۰/۰۹$ ) در ازای فراهمای مختلف.

$\phi$	$X_{\mu dt}$	$X_{\mu pt}$	$X_{\mu dd}$	$X_{\mu pd}$
۰/۰۵	۰/۲۴۹۶۱E۲	۰/۹۰۵۰۷	۰/۱۱۴۸۵	۰/۱۶۴۵۲E۱
۰/۱۵	۰/۴۵۰۵۹۷E۲	۰/۱۶۳۳۸E۱	۰/۲۰۷۱۳	۰/۲۹۶۷۴E۱
۰/۲۵	۰/۵۳۶۹۷E۲	۰/۱۹۴۷۰E۱	۰/۲۴۶۷۹	۰/۳۵۲۵۶E۱
۰/۳۵	۰/۵۸۵۰۲E۲	۰/۲۱۲۱۲E۱	۰/۲۶۸۰۵	۰/۳۸۵۱۶E۱
۰/۴۵	۰/۶۱۵۶۵E۲	۰/۲۲۳۲۴E۱	۰/۲۸۲۹۱	۰/۴۰۵۲۱E۱
۰/۵۵	۰/۶۳۶۸۰E۲	۰/۲۳۰۹۴E۱	۰/۲۹۲۶۵	۰/۴۱۹۲۶E۱
۰/۶۵	۰/۶۵۲۴۸E۲	۰/۲۳۶۵۹E۱	۰/۲۹۹۸۲	۰/۴۲۹۵۳E۱
۰/۷۵	۰/۶۶۴۴۳E۲	۰/۲۴۰۸۸E۱	۰/۳۰۵۲۵	۰/۴۳۷۳۱E۱
۰/۸۵	۰/۶۷۳۷۰E۲	۰/۲۴۴۲۸E۱	۰/۳۰۹۵۶	۰/۴۴۳۴۹E۱
۰/۹۹	۰/۶۸۱۲۷E۲	۰/۲۴۷۰۳E۱	۰/۳۱۳۰۴	۰/۴۴۸۴۸E۱
۱/۰	۰/۶۸۴۵۷E۲	۰/۲۴۸۲۳E۱	۰/۳۱۴۵۶	۰/۴۵۰۶۵E۱

جدول ۱۰. مقادیر عددی بازده کاتالیزور میونی در هر یک از شاخه‌های همجوشی مخلوط سه گاز ( $C_d = ۰/۱$ ,  $C_p = ۰/۱$ ,  $C_t = ۰/۰۸$ ) در ازای فراهمای مختلف.

$\phi$	$X_{\mu dt}$	$X_{\mu pt}$	$X_{\mu dd}$	$X_{\mu pd}$
۰/۰۵	۰/۶۶۲۲۰E۲	۰/۱۰۶۷۲	۰/۲۸۸۵۸E-۲	۰/۶۸۳۷۵E-۲
۰/۱۵	۰/۷۷۷۸۲E۲	۰/۱۲۵۳۰	۰/۱۲۱۰۸E-۱	۰/۷۷۰۹۷E-۲
۰/۲۵	۰/۸۱۸۱۷E۲	۰/۱۳۱۸۵	۰/۱۲۷۳۱E-۱	۰/۸۱۰۶۳E-۲
۰/۳۵	۰/۸۳۶۸۰E۲	۰/۱۳۴۸۶	۰/۱۳۰۲۰E-۱	۰/۸۲۸۹۹E-۲
۰/۴۵	۰/۸۴۷۴۶E۲	۰/۱۳۶۵۷	۰/۱۳۱۸۲E-۱	۰/۸۳۹۴۲E-۲
۰/۵۵	۰/۸۵۴۵۰E۲	۰/۱۳۷۷۱	۰/۱۳۲۹۲E-۱	۰/۸۴۶۳۴E-۲
۰/۶۵	۰/۸۶۹۴۲E۲	۰/۱۳۸۰۰	۰/۱۳۳۶۸E-۱	۰/۸۵۱۱۹E-۲
۰/۷۵	۰/۸۶۳۰۰E۲	۰/۱۳۹۰۸	۰/۱۳۴۲۴E-۱	۰/۸۵۴۷۰E-۲
۰/۸۵	۰/۸۶۵۸۷E۲	۰/۱۳۹۵۴	۰/۱۳۴۶۸E-۱	۰/۸۵۷۵۲E-۲
۰/۹۵	۰/۸۶۸۰۰E۲	۰/۱۳۹۹۰	۰/۱۳۵۰۲E-۱	۰/۸۵۹۶۹E-۲
۱/۰	۰/۸۶۸۹۰E۲	۰/۱۴۰۰۴	۰/۱۳۵۱۵E-۱	۰/۸۶۰۵۰E-۲

جدول ۱۱. مقادیر عددی بازده کاتالیزور میونی در هر یک از شاخه‌های همجوشی مخلوط سه گاز ( $C_p = C_t = ۰/۱$ ،  $C_d = ۰/۸$ ) در ازای فلهای مختلف.

$\phi$	$\chi_{\mu dt}$	$\chi_{\mu pt}$	$\chi_{\mu dd}$	$\chi_{\mu pd}$
۰/۰۰	۰/۶۲۲۷۹E۲	۰/۱۰۰۰۲	۰/۹۷۳۰۵E-۲	۰/۶۱۹۵۷E-۲
۰/۱۰	۰/۷۷۸۲E۲	۰/۱۲۵۳۵	۰/۱۲۱۰۸E-۱	۰/۷۷۰۹۷E-۲
۰/۲۰	۰/۸۱۸۱۷E۲	۰/۱۳۱۸۵	۰/۱۲۷۳۱E-۱	۰/۸۱۰۶۳E-۲
۰/۳۰	۰/۸۳۶۸۰E۲	۰/۱۳۴۸۶	۰/۱۲۰۲۰E-۱	۰/۸۲۸۹۹E-۲
۰/۴۰	۰/۸۴۷۴۶E۲	۰/۱۳۶۵۷	۰/۱۳۱۸۳E-۱	۰/۸۳۹۴۲E-۲
۰/۵۰	۰/۸۵۴۵۰E۲	۰/۱۳۷۷۱	۰/۱۳۲۹۲E-۱	۰/۸۴۶۳۴E-۲
۰/۶۰	۰/۸۵۹۴۲E۲	۰/۱۳۸۵۰	۰/۱۳۳۶۸E-۱	۰/۸۵۱۱۹E-۲
۰/۷۰	۰/۸۶۳۰۵E۲	۰/۱۳۹۰۸	۰/۱۳۴۲۴E-۱	۰/۸۵۴۷۴E-۲
۰/۸۰	۰/۸۶۵۸۷E۲	۰/۱۳۹۵۴	۰/۱۳۴۶۸E-۱	۰/۸۵۷۰۲E-۲
۰/۹۰	۰/۸۶۸۰۸E۲	۰/۱۳۹۹۰	۰/۱۳۵۰۲E-۱	۰/۸۵۹۶۹E-۲
۱/۰	۰/۸۶۸۹۵E۲	۰/۱۴۰۰۴	۰/۱۳۵۱۵E-۱	۰/۸۶۰۵۵E-۲

جدول ۱۲. مقادیر عددی بازده کاتالیزور میونی در هر یک از شاخه‌های همجوشی مخلوط سه گاز ( $C_p = C_t = ۰/۱$ ،  $C_d = ۰/۸$ ) در ازای فلهای مختلف.

$\phi$	$\chi_{\mu dt}$	$\chi_{\mu pt}$	$\chi_{\mu dd}$	$\chi_{\mu pd}$
۰/۰۰	۰/۵۲۲۴۵E۱	۰/۱۰۵۶۵E-۲	۰/۳۶۷۱۱	۰/۲۹۲۱۹E-۱
۰/۱۰	۰/۵۴۷۰۸E۱	۰/۱۱۰۲۱E-۲	۰/۳۸۳۱۵	۰/۳۰۴۹۵E-۱
۰/۲۰	۰/۵۵۱۸۴E۱	۰/۱۱۱۱۷E-۲	۰/۳۸۶۵۳	۰/۳۰۷۶۴E-۱
۰/۳۰	۰/۵۵۳۹۱E۱	۰/۱۱۱۵۸E-۲	۰/۳۸۷۹۹	۰/۳۰۸۸۰E-۱
۰/۴۰	۰/۵۵۵۰۶E۱	۰/۱۱۱۸۱E-۲	۰/۳۸۸۸۱	۰/۳۰۹۴۶E-۱
۰/۵۰	۰/۵۵۵۸۱E۱	۰/۱۱۱۹۶E-۲	۰/۳۸۹۳۳	۰/۳۰۹۸۷E-۱
۰/۶۰	۰/۵۵۶۳۱E۱	۰/۱۱۲۰۷E-۲	۰/۳۸۹۶۹	۰/۳۱۰۱۶E-۱
۰/۷۰	۰/۵۵۶۶۹E۱	۰/۱۱۲۱۴E-۲	۰/۳۸۹۹۶	۰/۳۱۰۳۷E-۱
۰/۸۰	۰/۵۵۶۹۸E۱	۰/۱۱۲۲۰E-۲	۰/۳۹۰۱۶	۰/۳۱۰۵۴E-۱
۰/۹۰	۰/۵۵۷۲۱E۱	۰/۱۱۲۲۵E-۲	۰/۳۹۰۳۳	۰/۳۱۰۶۷E-۱
۱/۰	۰/۵۵۷۳۰E۱	۰/۱۱۲۲۷E-۲	۰/۳۹۰۳۹	۰/۳۱۰۷۲E-۱

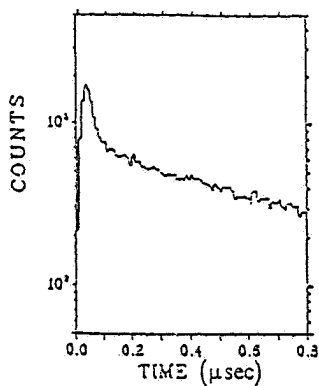
$$M_E = \left[ \frac{Q_{pd} + Q_y}{E_\mu} \right] \chi_{\mu pd}^{\mu d} + \left[ \frac{Q_{pt} + Q_y}{E_\mu} \right] \chi_{\mu pt}^{pt \mu} \\ + \left[ \frac{Q_{dd} + Q_n}{E_\mu} \right] \chi_{\mu dd}^{dd} + \left[ \frac{Q_{dt} + Q_n}{E_\mu} \right] \chi_{\mu dt}^{dt \mu}, \quad (6V)$$

که اگر مقادیر عددی  $Q_{pd} = ۱۹/۸$  MeV و  $Q_{pt} = ۵/۴$  MeV و  $Q_{dd} = ۳/۳$  MeV و  $Q_{dt} = ۱۷/۶$  MeV و  $Q_y = ۵/۵$  MeV

است که اگر آنها را با هم مقایسه کنیم، بیشترین تعداد همجوشی مربوط به انتخاب  $C_d = C_t = ۰/۱$  و  $C_p = ۰/۸$  می‌باشد که حدود ۱۶۱۳ همجوشی را در شاخه  $d\tau\mu$  به دست می‌دهد، و در مقایسه با دیگر انتخاب‌ها بهترین است.

۵. ملاحظه می‌شود که بیشترین انرژی ناشی از همجوشی مخلوط سه گاز در ازای خلقت‌های گوناگون  $C_d$ ،  $C_t$  و  $C_p$  توسط شاخه همجوشی  $d\tau\mu$  است.

۶. هرگاه ضریب تکثیر انرژی را برای مخلوط سه گاز، مشابه مخلوط دو گاز بنویسیم، داریم:



شکل ۱۰. طیف زمانی تعداد همجوشیهای  $d-t$  اندازه گیری شده در آزمایشگاه PSI سالهای (۱۹۸۹-۱۹۹۲).

$C_d > C_p > C_t > C_p$  باشد، تمامی بهره همجوشی مربوط به مسیر اول خواهد بود. رقیق بودن مخلوط نسبت به سوختهای مصرفی  $D$  و  $T$  باعث می شود که مولکولهای  $d\mu$  تولید شده، کند شوند و تفکیک این شاخه را از شاخه های همجوشی  $p\mu$  و  $p\mu t$  امکان پذیر نماید. چرا که شاخه همجوشی  $d\mu$  به دلیل داشتن آهنگ همجوشی بزرگتر نسبت به سایر شاخه های همجوشی، نقش اصلی را در تولید انرژی بر عهده دارد [۲۳]. اکنون با توجه به جدول ۳ و جدول های ۴ تا ۱۲ و همچنین منحنی های ارائه شده در شکل های ۶ الی ۹، که، بر مبنای محاسبات انجام گرفته ارائه شده است، ملاحظه می شود که نتایج حاصل از آزمایش در حد بسیار خوبی تأیید می شود و نشان می دهد که مخلوط سه گاز دارای بازده چرخه میونی و ضریب تکثیر انرژی بالاتری است و علت افزایش این ضریب مربوط به سرعت دادن میون در چرخه همجوشی است. نکته مهم دیگر اینکه، در هر حالت شاخه  $d\mu$  ماقریم همجوشی ممکن را به دست می دهد، اما غلظت های انتخاب شده به میزان زیادی در تعداد همجوشیها مؤثر می باشد و باعث می شود که شاخه های دیگر همجوشی بتوانند در انجام تعداد واکنشهای همجوشی از یکدیگر پیشی گیرند.

شکل ۱۰ تعداد همجوشیهای ناشی از شاخه  $d\mu$  را در فاصله زمانی  $0 \text{ تا } 8/\mu\text{s}$  میکرو ثانیه که در آزمایشگاه PSI اندازه گیری شده است نشان می دهد. با استفاده از این منحنی و اینکه طول عمر میون  $2/2$  میکرو ثانیه است تعداد همجوشی در طول عمر یک میون حدود  $1650$  می شود که با نتیجه حاصل از تئوری یعنی حدود  $1613$  همجوشی، همخوانی دارد.

همچنین آزمایشات نشان می دهد که در چرخه همجوشی  $d\mu$  بهره انرژی همجوشی  $dd\mu$  نسبت به  $d\mu$  بسیار کوچک است و علت این کاهش را می توان در کوچک بودن آهنگ انجام

$Q_n = 200 \text{ MeV}$  و مقادیر تکثیر میونی محاسبه شده،  $\chi_{\mu}^{dd\mu} = 11$ ،  $\chi_{\mu}^{pd\mu} = 20$ ،  $\chi_{\mu}^{pp\mu} = 1613$  و  $\chi_{\mu}^{dt\mu} = 118$  حاصل می شود. مقایسه با مخلوط دو گاز، افزایشی حدود  $12$  برابر را بدست می دهد و نشان می دهد که مخلوط سه گاز رقیق شده به دوتریوم و تریتیوم می تواند ارزیابی بسیار مفیدتری برای تداوم انرژی نسبت به مخلوط دو گاز داشته باشد.

### مقایسه جوابها با نتایج آزمایشگاهی و نتیجه گیری

محاسبات انجام گرفته نشان می دهد که استفاده از مخلوط سه گاز به جای دو گاز توانسته است چرخه میون را در کاتالیزور میونی افزایش دهد. در محاسبات انجام شده، فرضیاتی را در نظر گرفتیم. از جمله فرض کردیم که سیستم در حالت پایا است، که فرض دور از انتظاری هم برای سیستم همجوشی نیست، چرا که چگالی های دوتریوم و تریتیوم و پروتون استفاده شده در سیستم از مرتبه خیلی بزرگی هستند (چگالی ذره ای هیدروژن مایع)، و مصرف حدود چند صد یا چند هزار از این اتم ها و با توجه به تزریق مناسب می تواند تغییرات ذره ای در سیستم را ناقیز کند و سیستم همواره در حالت پایا باقی بماند. ولی به هر حال برای بررسی اینکه شرایط انتخابی در انجام محاسباتی چقدر می تواند در جوابها مؤثر باشد جوابهای خود را با جوابهای آزمایشگاهی که در دسترس بود مقایسه کردیم. آزمایشگاه (Paul Sherrer Institute) PSI همجوشی دوتریوم - تریتیوم را در حالت شبیه پایا در مخلوط سه گاز D-T-H از طریق کاتالیزور میونی در شرایط آزمایشگاهی ( $T = 0/05^\circ\text{C}$  و  $n = 9/005 \text{ K}$ ) مورد آزمایش قرار داده است [۲۲ و ۲۳]. بررسیهای انجام شده نشان داده است که همجوشی دوتریوم - تریتیوم از چهار مسیر مختلف زیر انجام می گیرد.

مسیر اول  $\mu \rightarrow \mu p \rightarrow \mu d \rightarrow \mu t \rightarrow dt\mu$

مسیر دوم  $\mu \rightarrow \mu p \rightarrow \mu t \rightarrow dt\mu$

مسیر سوم  $\mu \rightarrow \mu d \rightarrow \mu t \rightarrow dt\mu$

مسیر چهارم  $\mu \rightarrow \mu t \rightarrow dt\mu$

های تولید شده از هر کدام از مسیرهای فوق می توانند به دو شاخه  $n + \mu^3\text{He}$  و  $n + \mu^4\text{He}$  تقسیم شوند سپس میون تولید شده از شاخه  $n + \mu^3\text{He}$  می تواند به شبکه بازگردانده شود و همجوشیهای دیگری را تا قبل از واپاشی خود انجام داده و بهره انرژی را افزایش دهد. آزمایش نشان داده است که اگر

شاخص  $d\mu$  داشته باشیم و شاخصهای  $p\mu$ ،  $pt\mu$  و  $pd\mu$  از بهره بسیار کمتری برخوردار باشند [۲۲ و ۲۳].

### توصیه برای ادامه تحقیقات

انجام محاسبات برای سیستم پایای کاتالیزور میونی صورت گرفت. فرض پایا بودن چنین سیستمی فرض درستی است چراکه مصرف تعداد ذرات در قبال چگالی بزرگ آنها ناچیز است و می‌توان به راحتی تغییرات چگالی ذرات را کوچک و یا ناچیز گرفت، اما در سیستم‌های از این نوع که مصرف و تزریق همزمان است، پایداری پایا بودن آنها باستی مورد مطالعه قرار گیرد [۲۴].

### تشکیل و قدردانی

بدینوسیله از معاونت‌های محترم پژوهشی دانشکده علوم و دانشگاه شیراز که امکان انجام این تحقیق را فراهم نمودند تشکر و قدردانی می‌شود.

واکنش و بزرگ بودن احتمال چسبندگی میون به  ${}^3\text{He}$  و انتخاب غلظت‌های  $C_p$ ،  $C_d$  و  $C_t$  دانست. در چرخه همجوشی  $pd\mu$  نیز بهره همجوشی  $pd$  کمتر از بهره همجوشی  $dt$  است و علت آن مربوط به آهنگ تشکیل  $dt\mu$  است که بزرگتر از  $pd\mu$  است و احتمال چسبندگی میون به  ${}^3\text{He}$  بزرگ است. به هر حال کاوش احتمال چسبندگی با روش‌های فیزیکی می‌تواند نتیجه بهتری را حاصل کند. بالاخره در چرخه همجوشی  $pt\mu$ ، بهره همجوشی  $pt$  نیز به دو دلیل کمتر از شاخص  $dt$  است: اولاً، آهنگ تشکیل مولکول  $dt\mu$  از مولکول  $pt\mu$  بسیار بزرگتر است به طوری که شاخص  $dt\mu$  حاکمیت پیدا می‌کند، ثانیاً، آهنگ همجوشی  $pt\mu$  بسیار ضعیف است.

بنابراین به طور خلاصه می‌توان اظهار داشت که مطابق با تجزیه و تحلیلی که در مورد ساختار چندگانه همجوشی در آزمایشگاه PSI توسط ذره میون انجام گرفته است، تشکیل  $dt\mu$  در اثر برخوردهای  $HD$  با  $\mu t$  نقش اساسی را در مخلوط سه گاز ایفا می‌کند و همین باعث می‌شود که ماکریزم بهره همجوشی را در

### مراجع

13. L. I. Ponomarev and C. Petitjean, *Fusion Technology*, **20** (1991) 1022.
14. L. Bracci, C. Chiccoli, G. Fiorentini, V. S. Melezhik, P. Pasini, L. I. Ponomarev and J. Woznak, *Muon Catal. Fusion* **4** (1989) 247.
15. A. Adamezak and V. S. Melezhik, *Muon Catalyzed Fusion*. **4** (1989) 303.
16. J. S. Cohen and M. C. Strunsee, *Phys. Rev. A* **43** (1991) 3460.
17. C. Chiccoli, V. I. Korobov, V. S. Melezhik, P. Pasini, L. I. Ponomarev and J. Woznak, *Muon Catal. Fusion* **7** (1992) 87.
18. E. Afanasieva, I.V. Balabin and V. M. Markushin, *PSI Preprint PSI-PR 90-17* (1990): *Muon Catalyzed Fusion*, **6**(1990/1991) 477.
19. M. P. Faifman and L. I. Ponomarev, *Phys. Lett. B* **265** (1991) 201.
20. M. P. Faifman L. I. Menshikov and T.A. Strizh *Muon Catalyzed Fusion*, **4** (1991).
21. Yu. V. Petrov and V. Yu. Petrov, *Zhetf* **100** (1991) 58 and Sov. Phys. *JETP* **73** (1991) 29.
22. V. E. Markushin, E. I. Afanasieva T. Case, K. Lou and C. Petitjean, *Hyp. Int.* **82** (1993) 373.
23. V. E. Markushin, E. I. Afanasieva T. Case, K. Lou and C. Petitjean, *Muon Catalyzed Fusion*. **7** (1992) 155-178.
24. M. R Eskandari, A. Ghasemi-Zad, *Iranian Journal of Science and Technology. 20. Transaction A*, (1996) 395.
1. Yu. V. Petrov. *Nature*, Vol. 285, June 1980, P. 466.
2. V. N Sosnin, A. A. Harms, *Kerntechnik* **57** (1992) No. 5 P. 332.
3. G. Gripps, *Hyperfines Interactions* (June 1993), Vol. 77 (1-2), P. 188.
4. کتاب «اصول همجوشی هسته‌ای» نوشتۀ محمد رضا اسکندری، مرکز نشر دانشگاه شیراز، ۱۳۷۴.
5. محمد رضا اسکندری «ائیلاف سیستم‌های  $\mu\text{CF}$ ،  $\text{ICF}$ » کنفرانس فیزیک ایران، کرمانشاه، ۱۳۷۲.
6. محمد رضا اسکندری ، ظفر... کلانتری، «کد کامپیوتري برای حل معادلات غیرخطی با روش رانگ کوتای مرتبه چهار» دانشگاه شیراز، ۱۳۷۱.
7. S. E. Jones, AIP Conf. 181, *Muon Catalyzed Fusion*, Sanibel Island. (1988).
8. M. R. Eskandari, Z. Kalantari, A. A. Harms, *International Conference on Emerging Nuclear Energy Systems, ICENES 93*, Japan (1993).
9. M. R. Eskandari, Z. Kalantari, A. A. Harms, *Iranian Journal of Science and Technolog*, **19** (1995).
10. M. R. Eskandari, *Nuclear Science Journal*. **31** (1994).
11. V. E. Markushin, E. I. Afanasieva, T. Case, K. Lau and C. Petitjean, *Hyperfine Interactions*, **82** (1993). 373-389.
12. S.S. Gerstein, Yu. V. Petrov and L. I. Ponomarev, *Sov. Phys. Usp.* **33** (1990) 591.